




Jiná ověření:		Paré:	
Orientační schéma:		Razítko oprávněné osoby:	
		Podpis: _____ Datum: _____	
Revize:	Datum:	Popis:	Kontroloval:
000	24.07.2022	Definitivní odevzdání dokumentace	Ing. Radomír Hanák

Stavebník/Investor:	Správa železnic, státní organizace	 SPRÁVA ŽELEZNIC
Adresa:	Dlážděná 1003/7, 110 00 Praha 1	
Zástupce investora:	Stavební správa východ	
Adresa:	Nerudova 773/1, 779 00 Olomouc	

Zhotovitel díla:	SUDOP Brno, spol. s r.o.		
Adresa:	Kounicova 688/26, 611 36 Brno		
Kontakt:	T: +420 972 625 804 E: sudop@sudop-brno.cz		
Zhotovitel objektu:	SUDOP Brno, spol. s r.o.		
Adresa:	Kounicova 688/26, 611 36 Brno		
Kontakt:	T: +420 972 625 804 E: sudop@sudop-brno.cz		
Hlavní projektant (HIP):	Ing. Radomír Hanák	Specialista:	Ing. Radomír Hanák

Název stavby/akce:	Rekonstrukce mostu v km 4,894 na trati Brno - Přerov		Označení investora:	S622000584
			Označení zhotovitele:	21043-01-0522
Název části:	Mosty		Označení části:	D.2.1.04
Název objektu/dílčí části:	Most v km 4,894		Označení objektu/komplexu:	SO 11-20-01
Název přílohy:	Statický výpočet		Číslo přílohy:	3. 101
Název dílčí části přílohy:				
Odpovědný projektant:	Zpracovatel přílohy:	Měřítko:	Stupeň dokumentace:	
Ing. Jan Matějka	Ing. Denis Ujházy	Formáty:	DSP + PDPS	
Kraj:	Katastrální území:	TUDU:	Smluvní datum zpracování:	
Jihomoravský	Černovice [611263] Brněnské Ivanovice [611227]	2101-02	24.07.2022	

Označení investora:	Stupeň dokumentace:	Část:	Objekt:	Podobjekt:	Příloha:	Revize:
S 6 2 2 0 0 0 5 8 4	-	P D P S	-	D 2 1 0 4	-	S O 1 1 2 0 0 1
-	X X	-	3	-	1 0 1	-
0 0 0						

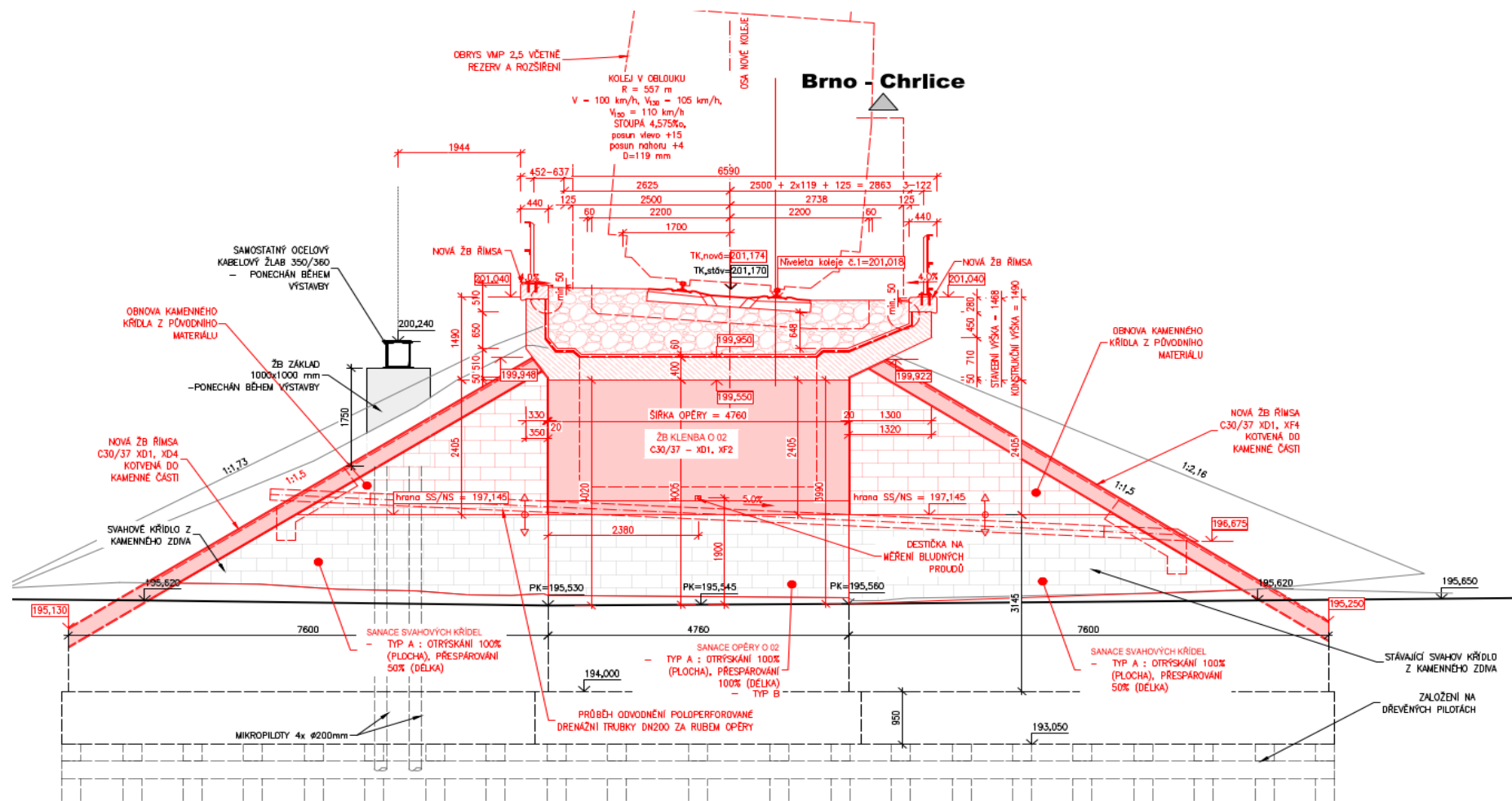
0. OBSAH	1
1. Základní údaje	2
1.1 Dokumentace	3
1.1.1 Příčný řez	3
1.1.1 Podélný řez	3
2. Posouzení NK	4
2.1 Parametry výpočtu	4
2.2 Předpoklady výpočtu	4
2.3 Model klenby ve SCIA Engineer 19.1	4
2.4 Základní charakteristiky klenby	4
2.5 Zatížení	4
2.6 Kombinace zatížení a vnitřní síly	6
2.7 MSÚ	8
2.8 MSP	12
2.9 Posouzení kotevních trnů	13
3. Čelní zdi a římsy	14
3.1 Zatížení	14
3.1.1 Stálé zatížení	14
3.1.2 Proměnné zatížení	14
3.1.3 Model pro čelní zídky a vykonzolované římsy	15
3.1.4 Vnitřní síly	15
3.2 Posouzení nejkritičtějších řezů	16
3.2.1 Posouzení vykonzolované římsy	16
3.2.2 Posouzení čelní zdi	17
3.2.3 zatížitelnost čelní zdi a římsy	18
4. Zavěšené křídlo	19
4.1 Posouzení	20
4.1.1 Posouzení římsové části	20
4.1.2 Posouzení dříku zavěšených křídel	21
4.1.3 Zatížitelnost čelní zdi a římsy	22
5. Stávající spodní stavba	23
5.1 Posouzení opěry	23
5.1.1 Model	23
5.1.2 Vnitřní síly	25
5.1.3 Pevnost zdiva v tlaku	25
5.1.4 Posouzení nevyztužené zdi v tlaku v patě	25
5.1.5 Posouzení nevyztužené zdi v tlaku ve vrcholu	25
5.1.6 Posouzení nevyztužené zdi v tlaku uprostřed	25
5.1.7 Posouzení nevyztužené zdi na smyk	26
5.1.8 Posouzení nevyztužené zdi na ohyb	26
5.1.9 Zatížitelnost dříku opěry	26
5.2 Posouzení piloty	26
5.3 Posouzení přechodových zídek	27
6. Přehled zatížitelnosti	29

1. ZÁKLADNÍ ÚDAJE

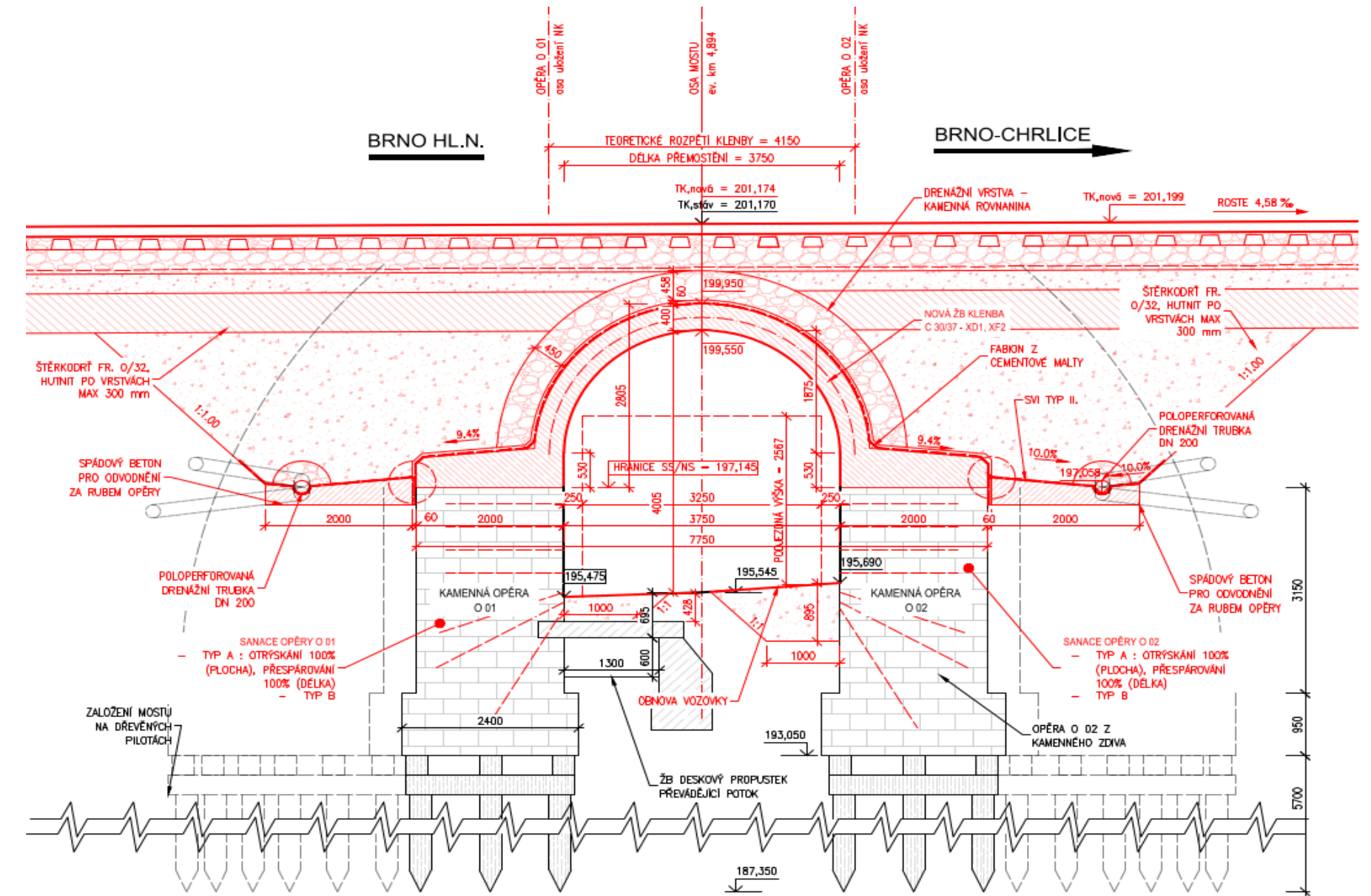
Stavba:	Rekonstrukce mostu v km 4,894 na trati Brno - Přerov
Objekt:	SO 11-20-01 Most v ev. km 4,894
Katastrální území:	Černovice [611263], Brněnské Ivanovice [611227]
Obec:	Brno [582786]
Kraj:	Jihomoravský
Staničení:	evidenční km 4,894
Trať:	260 KJŘ Brno – Přerov
Traťový úsek:	2101 Brno - Přerov
Definiční úsek:	02
Účel objektu:	most překonává silnici III. Třídy (pod silniční komunikací v otvoru mostu se nachází u O 01 železobetonový deskový propustek, který převádí místní potok
Šířa trať / staniční obvod:	šířa trať (staniční obvod zde bude až po rekonstrukci železniční stanice Brno- Židenice, v rámci stavby Modernizace žst. Brno - Židenice)
Počet kolejí na mostě:	
- stávající stav:	1 kolej
- nový stav:	1 kolej

Druh nosné konstrukce:	železobetonová klenba
Spodní stavba:	sanované stávající opěry založené na dřevěných pilotách
Počet mostních otvorů:	1
Délka přemostění:	3,75 m
Délka mostu:	20,490 m
Délka NK:	7,75 m
Rozpětí nosné konstrukce:	4,15 m
Stavební výška:	1,47 m
Konstrukční výška:	1,49 m
Výška obrysu kolejového lože:	stejně jako v přilehlé trati, min. 350 mm pod ložnou plochu pražce
Volná výška pod mostem:	3,99 m
Světlost kolmá:	3,75 m
Šikmost mostu:	kolmá
Úhel křížení s přemostěvanou překážkou:	90 °
Šířka mostu:	6,59 m
Volná šířka:	min. 2,866 m vpravo, min. 3,077 m vlevo
Železniční svršek:	kolejnice 49E1 na betonových pražcích B91S s bezpodkladnicovým pružným upevněním
Sklonové poměry:	
- nový stav:	kolej č.1 stoupá 4,575 ‰
Směrové poměry:	
- nový stav:	kolej č.1: v oblouku R = 557 m
Způsob uložení koleje:	na mostě bude kolej uložena do uzavřeného kolej. lože (viz SO 11-11-01)

1.1 DOKUMENTACE
1.1.1 PŘÍČNÝ ŘEZ



1.1.2 PODÉLNÝ ŘEZ



2. POSOUZENÍ NK
2.1 PARAMETRY VÝPOČTU

Konstrukce mostu:

betonová klenba

Spodní stavba:

kamenná

2.2 PŘEDPOKLADY VÝPOČTU

Výpočet je proveden na jeden běžný metr délky klenby.

Rozdílná výška násypu v patě a ve vrcholu klenby je průměrována po výšce dle Předpisu SŽDC SR 5.

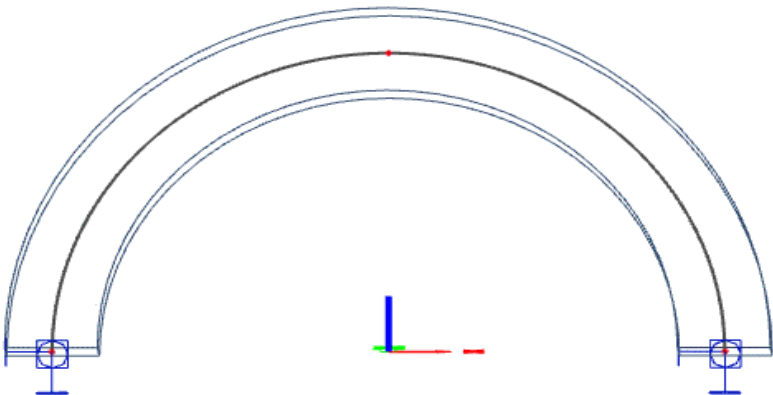
Zatížení od vlaku je rozneseno jak podélně, tak příčně dle ČSN EN 1991-2.

Polokruhová klenba je nahrazena střednicí klenby. Konce klenby jsou vedeny kolmo k vodorovné rovině.

Toto výpočtové schéma lépe odpovídá skutečnému stavu, kde v této úrovni přechází klenba do masivních opěr.

Uložení klenby je uvažováno vetknutím.

2.3 MODEL KLENBY VE SCIA ENGINEER 19.1



2.4 ZÁKLADNÍ CHARAKTERISTIKY KLENBY

rozpětí klenby =	4350 mm
tloušťka klenby =	300 mm
materiál =	Železobeton
Beton =	C30/37
f _{ck} =	30 MPa
f _{cd} = = fck/γc =30/1,5 =	20 MPa
E _{cm} =	33 GPa
f _{ctm} =	2,9 MPa
Výztuž =	B500B
f _{yk} =	500 MPa
γ _s =	1,15

2.5 ZATÍŽENÍ

a) stálá

Stálé a ostatní stálé zatížení				
Typ zatížení	Y _g	g _k	tl.	g _d
	-	kN/m ³	m	kN/m
vlastní tíha*	generována ve Scia Engineer 19.1			
kolejový svršek 6 kN/m a roznos 3,57m	1		1	1,7
přesypávka g _p , lože	1	19	1,09	20,71
přesypávka g _p , zemina	1	19	3,57	67,83
Σ(g _{ki} :g _p)				90,24
Výpočet zemního tlaku				
zemní tlak	1	19		
výška přesypávky h	1,09	m		
výška klenby	2,175	m		
úhel vnitřního tření φ	30	°		
souč. zemního tlaku v klidu K ₀	0,50	-		
σ _x u vrcholu klenby	10,4	kN/m ²		
σ _x u paty klenby	31,0	kN/m ²		

- ZATÍŽENÍ LM71

vlak LM71	Y_q	α	Q_k
	-	-	kN
	1,45	1,21	250

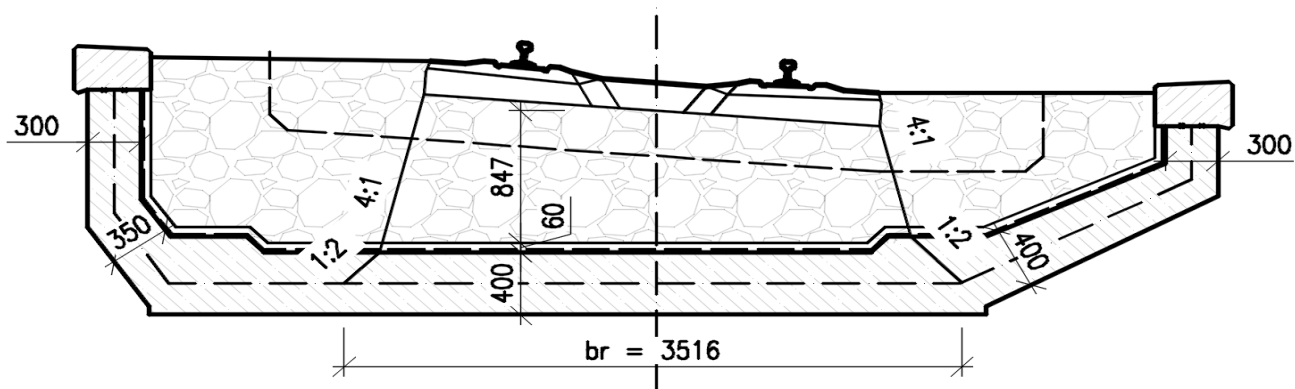
Dynamický součinitel $\delta=2,16/(L_D^{0,5}-0,2)+0,73$

světlost	3,75	m
$L_D = 2 \cdot \text{světlost}$	7,5	m
δ	1,58	-
redukce δ $\text{red } \delta = \delta \cdot (h-1)/10$		
výška přesypávky h	1,09	m
$\text{red } \delta > 1$	1,57	-

Roznos zatížení

zatížení od LM71 na 1bm klenby

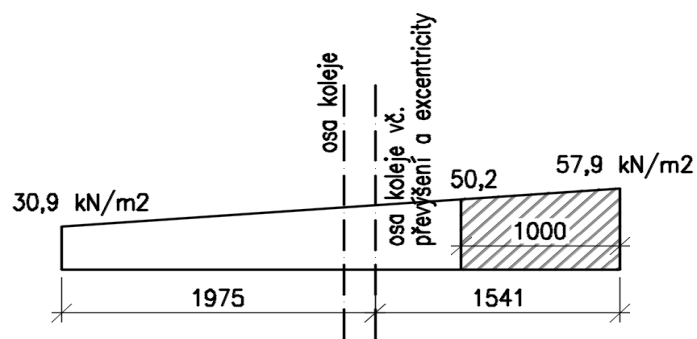
šířka pražce	2,6	m
roznos v násypu	4:1	-
roznos v ŽB desce	1:2	



roznos v příčném směru
 podélný roznos = $4 \cdot Q_k / b_p = 4 \cdot 250 / 6,4 =$
 charakteristické zatížení g_k roznesené v obou směrech
 g_k
 při zohlednění převýšení a excentricity 0,083 m je $q_k =$

3,516 m
156,25 kN/m

44,44 kN/m²
54,40 kN/m²



- SVISLÉ ZATÍŽENÍ VYVOLANÉ BOČNÍMI RÁZY

boční rázy Q_{sk} =	100 kN
rameno r =	0,5 m ...vzdálenost temene kolejnice a spodní hrany pražce
moment od bočních rázů m =	45,0 kNm
rozvor kolejí	1,5 m
svislá síla od bočních rázů F_{sk} =	30,0 kN
roznášecí šířka v příčném směru 1/2 br =	1,76 m
podélný roznos bp	1,91 m ...síla v podélném směru působí na tři pražce v osové vzdálenosti 533 mm a je roznesena ve sklonu 4:1 zeminou na střednici klenby

Roznesená síla od svislých účinků BR **8,9 kN/m² ... charakteristická hodnota**

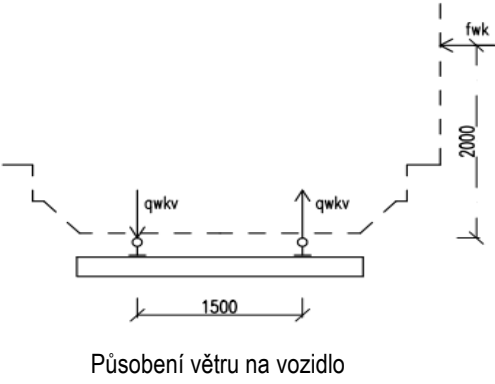
- ODSŤŘEDIVÉ SÍLY

rychlost $v =$	90 km/h
redukční součinitel $f =$	1,0 ... pro rychlost menší než 120 km/h
poloměr oblouku $r =$	564,0 m
charakteristická hodnota svislého zatížení $q_{vk} =$	156,25 kN/m
odstředivá síla $q_{tk} =$	$= (v^2 \cdot f \cdot q_{vk}) / (127 \cdot r) =$ <u>17.7 kN/m</u>
rameno působení odstředivé síly $=$	1,8 m ... vzdálenost nad pojižděným povrchem
moment od odstředivé síly $m =$	31,9 kNm/m
rozvor kolejnic	1,5 m
svislé zatížení od odstředivých sil	21,2 kN/m
roznos v příčném směru $b_r/2$	1,76 m
roznesené svislé účinky zatížení od odstředivých sil	12.1 kN/m²

- ZATÍŽENÍ VĚTREM

Vstupní hodnoty:

Větrová oblast		II
základní rychlost větru	Vb,0 =	25 m/s
Součinitel směru větru	cDIR =	1,0
Součinitel ročního období	cseasson =	1,0
Součinitel ortografie	C0(Z) =	1,0
Kategorie terénu		II
Parametr drsnosti	Z0 =	0,05 m
Minimální výška	Zmin =	2,0 m
Maximální výška	Zmax =	200,0 m
Výška nad zemí	Z =	7,5 m
Součinitel turbulence	kl =	1,0
Měrná hmotnost vzduchu	ρ =	1,25 kg/m3
Šířka	b =	6,0 m
Výška	dtot =	5,9 m



Výpočet zatížení od větru na projíždějící vlak

základní rychlost větru Vb	cDIR*cseasson*Vb,0 =	= 1*1*25 =	25,0 m/s
součinitel terénu kr	0,19*(Z0/0,05)^0,07 =	= 0,19*(0,05/0,05)^0,07 =	0,19
součinitel drsnosti cr (Z)	kr*ln(zmin/z0)=	= 0,19*ln(7,5/0,05) =	0,952
zmax > z > zmin ...splňuje podmínku			
střední rychlost větru vm(Z)	cr(Z)*c0(Z)*vb =	= 0,952*1*25 =	23,80 m/s
Intenzita turbulence větru lv(Z)	Kl / (C0(Z)*ln(zmin/z0))=	= 1/(1*ln(7,5/0,05) =	0,2
základní dynamický tlak větru qb	0,5*ρ*vb^2 =	= 0,5*1,25*25^2 =	391 N/m2
Maximální dynamický tlak qb(z)	[1+7*lv(z)]*0,5*ρ*vm(z)^2 =	= [1+7*0,2]*0,5*1,25*23,8^2	850 N/m2
Součinitel expozice ce	qp(z) / qb =	= 850 / 391 =	2,17
Součinitel síly pro mosty cfx,0	b / dtot =	= 6 / 5,85 =	1,03
	→ cfx,0 = ...z grafu...		2,27
Součinitel zatížení větrem C	ce*cfx,0 =	= 2,17 * 2,27 =	4,93
Vítr působící na vozidla fw,k	1/2*ρ*vb^2*C*Aref,y	= 0,5*1,25*25^2*4,93*4=	7,7 kN/m2
Referenční plocha Aref,y			4 m2

dle ČSN EN 1991-1-4, čl. 8.3.1 (5) b), je dána výška vozidla 4,0 m od temene kolejnic

moment od působení větru na vlak	=2*7,7 =	15,4 kNm/m
svíslá síla působící na temeno kolejnice qw,k	= 15,4/1,5 =	10,3 kN/m
roznos v příčném směru pouze na 1/2 roznášecí šířky	=10,3/3,516/2 =	5,9 kN/m2

2.6 KOMBINACE ZATÍŽENÍ A VNITŘNÍ SÍLY

byly ověřeny kombinace zatížení 6.10a a 6.10b. Rozhodující jsou kombinace dle rovnice 6.10b.

$$\sum_{j \geq 1} \xi Y_G G_{k,j} + Y_P P + Y_{Q,1} Q_{k,1} + \sum_{i > 1} Y_{Q,i} \psi_{0,i} Q_{k,i}$$

pro MSP byla použita charakteristická kombinace zatížení

$$\sum_{j \geq 1} G_{k,j} + P + Q_{k,1} + \sum_{i > 1} \psi_{0,i} Q_{k,i}$$

Součinitelé zatížení pro kombinaci 6.10b:

Stálá zatížení	YG =	1,35
Ostatní stálá zatížení	YG1 =	1,35
LM71	YQ,LM71 =	1,45
Boční ráz	YQ,BR =	1,45
Zatížení větrem	YQ,w =	1,50
Brzdné a rozjezdové síly	Yroz/brz =	1,45

Kombinační součinitelé ψ0, ψ2 ξ

	ψ0	ψ2	ξ
Stálé zatížení			0,85
LM71	0,80	0,00	
Boční ráz	1,00	0,00	
Zatížení větrem	0,75	0,00	
Brzdné a rozjezdové síly	0,80	0,00	

Vnitřní síly

Vnitřní síly vypočteny programem Scia Engineer na 2D prutovém modelu.
Modelováno jako oboustranně vetknutý obloukový nosník.
Byly vytvořeny kombinace pro pozici vlaku umístěného uprostřed klenby a také vlaku působícího pouze na polovině klenby

Zatěžovací stav - návrhové hodnoty	pata klenby		vrchol klenby		Reakce
	N	M	N	M	Rz
	kN/m	kNm/m	kN/m	kNm/m	kN/m
St. zatížení + BR + odst. Síly +vítr na celé	-315	10	-195	2	
St. zatížení + BR + odst. Síly +vítr na 1/2	-282	47	-153	3	
Svislé zatížení od LM71 na celé délce kl.	-271	57	-148	30	...vč. Φ, bez α
Svislé zatížení od LM71 na 1/2 délky kl.	-57	50,3	-74	15	...vč. Φ, bez α

Zatěžovací stav - návrhové hodnoty	čtvrtina klenby		Reakce
	N	M	Rz
	kN/m	kNm/m	kN/m
St. zatížení + BR + odst. Síly +vítr na celé	-208	-1	
St. zatížení + BR + odst. Síly +vítr na 1/2	-197	-17	
Svislé zatížení od LM71 na celé délce kl.	-237	-23	... bez klasifikačního součinitele, včetně dyn. Souč.
Svislé zatížení od LM71 na 1/2 délky kl.	-92	-26	... bez klasifikačního součinitele, včetně dyn. Souč.

Kombinace MSÚ	pata klenby			vrchol klenby			Reakce
	N	M	e	N	M	e	Rz
	kN/m	kNm/m	m	kN/m	kNm/m	m	kN/m
K1_vlak uprostřed rozpětí_6.10a	-633	69	0,109	-363	32	0,088	631
K2_vlak uprostřed rozpětí_6.10b	-655	81	0,124	-379	39	0,103	651
K3_vlak na půlce klenby_6.10a	-384	100	0,260	-247	18	0,073	546
K4_vlak na půlce klenby_6.10b	-354	110	0,311	-245	21	0,086	552

Kombinace MSÚ	čtvrtina klenby			Reakce
	N	M	e	Rz
	kN/m	kNm/m	m	kN/m
K1_vlak uprostřed rozpětí_6.10a	-472	-33	0,070	631
K2_vlak uprostřed rozpětí_6.10b	-504	-29	0,058	651
K3_vlak na půlce klenby_6.10a	-315	-44	0,140	546
K4_vlak na půlce klenby_6.10b	-312	-50	0,160	552

2.7 MSÚ

- Charakteristiky pro beton a výztuž viz **Základní charakteristiky klenby**

délka oblouku $l_0 = 6,83 \text{ m}$

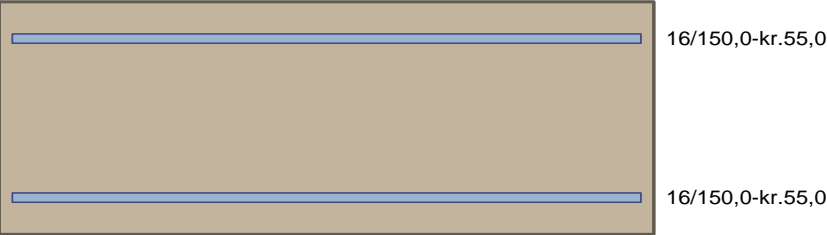
a) Posouzení klenby - tlak za ohybu

Posouzení v patě - tlak za ohybu

- kritický řez → rozeepsán podrobně pro kritickou kombinaci K2 vlak uprostřed rozpětí 6.10b

tloušťka klenby $t = 0,4 \text{ m}$
krytí výztuže $c_{nom} = 55 \text{ mm}$... pro třídu konstrukce S6, životnost 100 let, C30/37 - XD1, XF2

Navržený průřez



horní výztuž = $\Phi 16/150$
spodní výztuž = $\Phi 16/150$

Kritická kombinace a vnitřní síly vstupující do výpočtu

kombinace	Ned [kN]	Med [kNm]	Ved [kN]
K2_vlak uprostřed rozpětí_6.10b	-655	81	227

Výpočet imperfekce

$e_i = 0,017 \text{ m}$
 $M_{0Edy} = M_y + e_i \times |N_{Ed}| = 52 + 0,0171 \times |-623| = 62,64 \text{ kNm}$

Součinitel dotvarování:

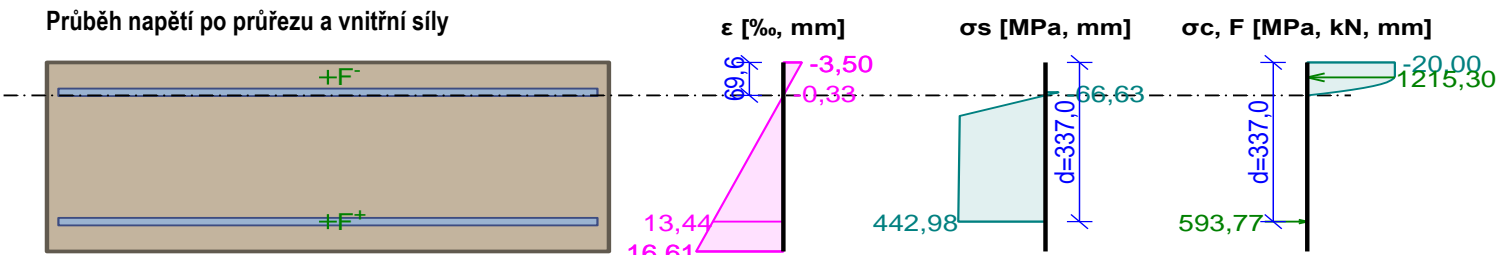
$h_0 = 2 \times A_c / u = 2 \times 400.103 / 2\,800 = 285,7 \text{ mm}$
 $\alpha_1 = (35 / f_{cm})^{0,7} = (35 / 38)^{0,7} = 0,944$
 $\alpha_2 = (35 / f_{cm})^{0,2} = (35 / 38)^{0,2} = 0,984$
 $\varphi_{RH} = [1 + (1 - RH / 100) / (0,1 \times 3 \sqrt{h_0}) \times \alpha_1] \times \alpha_2 = [1 + (1 - 50 / 100) / (0,1 \times 3 \sqrt{285,7}) \times 0,944] \times 0,984 = 1,689$
 $\beta(f_{cm}) = 16,8.106 / \sqrt{f_{cm}} = 16,8.106 / \sqrt{38} = 2,725$
 $\beta(t_0) = 1 / (0,1 + t_{0,2}) = 1 / (0,1 + 28,000,2) = 0,488$
 $\varphi_0 = j_{RH} \times \beta(f_{cm}) \times \beta(t_0) = 1,689 \times 2,725 \times 0,488 = 2,248$
 $\alpha_3 = (35 / f_{cm})^{0,5} = (35 / 38)^{0,5} = 0,96$
 $\beta_H = \min(1,5 \times [1 + (0,012 \times RH)18] \times h_0 + 250 \times \alpha_3; 1\,500 \times \alpha_3) = \min(1,5 \times [1 + (0,012 \times 50)18] \times 285,7 + 250 \times 0,96; 1\,500 \times 0,96) = \min(668,5; 1\,440) = 668,5$
 $\beta(t/t_0) = [(t - t_0) / (\beta_H + t - t_0)]^{0,3} = [(29\,200 - 28,00) / (668,5 + 29\,200 - 28,00)]^{0,3} = 0,993$
 $\varphi = \varphi_0 \times \beta(t/t_0) = 2,248 \times 0,993 = 2,233$

Vzpěr

Pro výpočet vlivu vzpěru použita metoda založená na φ menovité křivosti.

Štíhlost kolmo k ose y:

Vzpěrná délka zakřivených prutů $L_{0y} = l_0 \cdot 0,54 = 3,69 \text{ m}$
 $i_y = \sqrt{I_{cy} / A_c} = \sqrt{(0,00533 / 0,4)} = 0,115 \text{ m}$
 $l_y = L_{0y} / i_y = 3,69 / 0,115 = 31,96$
 $n = |N_{Ed}| / (A_c \times f_{cd}) = |-623| / (0,4 \times 20) = 0,0779$
 $\varphi_{ef} = \varphi \times 1 = 2,233 \times 1 = 2,233$
 $A = 1 / (1 + 0,2 \times \varphi_{ef}) = 1 / (1 + 0,2 \times 2,233) = 0,691$
 $\omega = A_s \times f_{yd} / (A_c \times f_{cd}) = 0,00268 \times 434,8 / (0,4 \times 20) = 0,146$
 $B = \sqrt{(1 + 2 \times \omega)} = \sqrt{(1 + 2 \times 0,146)} = 1,136$
 $C = 1,7 - r_m = 1,7 - 1 = 0,7$
 $n < 0,41 \text{ (} 0,0779 < 0,41 \text{)} \rightarrow$
 $\lambda_{lim} = \min(20 \times A \times B \times C / \sqrt{n}; 75) = \min(20 \times 0,691 \times 1,136 \times 0,7 / \sqrt{0,0779}; 75) = \min(39,41; 75) = 39,41$
 $\lambda_y < \lambda_{lim} \rightarrow$ Výpočet vzpěru není potřeba



Deformace v krajních vláknech průřezu

Nejmenší deformace v betonu:	-3,5 ‰
Největší deformace v betonu:	16,61 ‰
Nejmenší deformace ve výztuži:	-0,33 ‰
Největší deformace ve výztuži:	13,44 ‰
Směr neutrálné osy:	0 °
Výška tlaččen x =	69,6 mm
Efektivní výš d =	337 mm

$\xi = 0,21 \leq \xi_{\max} = 0,58 \rightarrow$ Vyhovuje
 $N_{Ed} = -623,00 \text{ kN} \leq N_{Rd} = -9072,33 \text{ kN}$
 $M_{Edy} = 52,00 \rightarrow 62,64 \leq M_{Rdy} = 286,37 \text{ kNm}$
Posouzení průřezu na tlak a ohyb Vyhovuje
Využití: 21,9 %

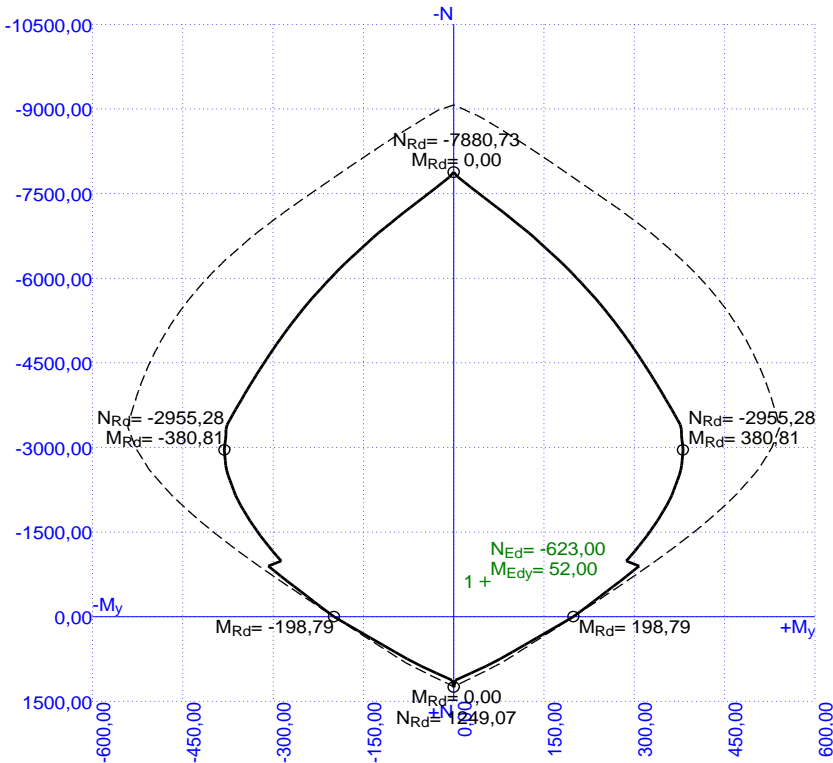
Konstrukční zásady

Deska (tažená výztuž - minimum, celková výztuž - maximum):

$\rho_{s,t}$	=	$A_{s,t} / (b \cdot t \cdot d) = 1\,340 / (1\,000 \times 337) = 0,00398$
ρ_s	=	$A_s / A_c = 2\,681 / 400.103 = 0,0067$
$\rho_{s,\min}$	=	$\max(0,26 \times f_{ctm} / f_{yk}; 0,0013) = \max(0,26 \times 2,9 / 500; 0,0013) = \max(0,00151; 0,0013) = 0,00151$
$\rho_{s,t,CSN}$	=	$A_{s,t} / A_c = 1\,340 / 400.103 = 0,00335$
$\rho_{s,\min,CSN}$	=	$\max(0,0018 \times f_{yk} / 500; 0,0014) = \max(0,0018 \times 500 / 500; 0,0014) = \max(0,0018; 0,0014) = 0,0018$

$\rho_{s,t}$	0,00398	\geq	$\rho_{s,\min}$	0,00151	
$\rho_{s,t,CSN}$	0,00335	\geq	$\rho_{s,\min,CSN}$	0,0018	Vyhovuje
ρ_s	0,0067	\leq	$\rho_{s,\max}$	0,04	Vyhovuje

Konstrukční zásady

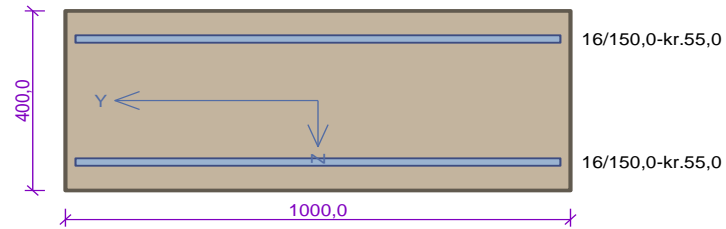


Souhrn posouzení v patě klenby

kombinace	Ned	Med	Nrd	Využití	Mrd	Využití
K2_vlak uprostřed rozpětí_6.10b	-655	92	-9072	7,2%	286	32,2%
K4_vlak na půlce klenby_6.10b	-354	116	-9072	3,9%	251	46,2%

Mezní stav únosnosti VYHOVUJE

Posouzení ve čtvrtině - pouze stručné posouzení
Řez X = 1,700 m (Dílec "Dílec 1") (1,700m)



Typ prvku: deska
Prostředí: XD1, XF2
Beton: C 30/37
fck = 30,0 MPa; fctm = 2,9 MPa; Ecm = 33000 MPa
Ocel podélná: B500B (fyk = 500,0 MPa; Es = 200000 MPa)
Ocel příčná: B500 (fyk = 500,0 MPa; Es = 200000 MPa)
Vzpěr
Vzpěrná délka: lef = 3,69 × 1,00 = 3,69 m

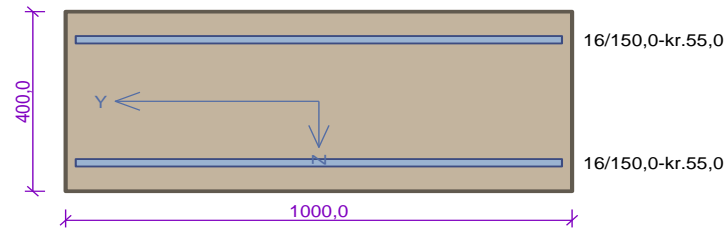
S tlačnou výztuží je počítáno.
Průřez bez smykové výztuže.

Souhrn posouzení v 1/4 klenby - tlak za ohybu

kombinace	Ned	Med	Nrd	Využití	Mrd	Využití
K2_vlak uprostřed rozpětí_6.10b	-506	-38	-9072	5,6%	264	14,4%
K4_vlak na půlce klenby_6.10b	-312	-55	-9072	3,4%	242	22,7%

Mezní stav únosnosti VYHOVUJE

Řez X = 3,415 m (Dílec "Dílec 1") (3,415m)



Typ prvku: deska
Prostředí: XD1, XF2
Beton: C 30/37
fck = 30,0 MPa; fctm = 2,9 MPa; Ecm = 33000 MPa
Ocel podélná: B500B (fyk = 500,0 MPa; Es = 200000 MPa)
Ocel příčná: B500 (fyk = 500,0 MPa; Es = 200000 MPa)
Vzpěr
Vzpěrná délka: lef = 3,69 × 1,00 = 3,69 m

S tlačnou výztuží je počítáno.
Průřez bez smykové výztuže.

Konstrukční zásady - viz podrobný posudek kritického průřezu - pata klenby
Souhrn posouzení ve vrcholu klenby - tlak za ohybu

kombinace	Ned	Med	Nrd	Využití	Mrd	Využití
K2_vlak uprostřed rozpětí_6.10b	-381	46	-9072	4,2%	247	18,6%
K4_vlak na půlce klenby_6.10b	-245	26	-9072	2,7%	231	11,3%

Mezní stav únosnosti VYHOVUJE

Zatížitelnost - tlak za ohybu
-Zatížitelnost byla určena iterační metodou

Násobek zatížení LM71	Využití
4	115 %
3	90 %
3,4	100 %
1,21	46%

α=

1,21

Z_{LM71} =

3,4

b) Posouzení klenby - smyk

- posouzení prvku bez smykové výztuže
- výpočet byl proveden v softwaru FIN EC 2020

Posouzení v patě
- kritický řez → rozepsán podrobně pro kritickou kombinaci K2 vlak uprostřed rozpětí 6.10b

Podrobné posouzení SMYK:
Použit model náhradní příhradoviny

$CR_{d,c} = 0,18 / \gamma_C = 0,18 / 1,5 = 0,12$
 $k = \min(1 + \sqrt{(200 / d)}; 2) = \min(1 + \sqrt{(200 / 337)}; 2) = \min(1,77; 2) = 1,77$
 $\rho_l = \min(As_l / (b_w \times d); 0,02) = \min(1\,340 / (1\,000 \times 337); 0,02) = \min(0,00398; 0,02) = 0,00398$
 $v_{min} = 0,035 \times k_{1,5} \times \sqrt{f_{ck}} = 0,035 \times 1,771,5 \times \sqrt{30} = 0,452 \text{ MPa}$
 $\sigma_{cp} = \min(-N_{Ed} / A_c; 0,2 \times f_{cd}) = \min(-623 / 400.103; 0,2 \times 20) = \min(1,558; 4) = 1,558 \text{ MPa}$
 $VR_{dc} = (\max(CR_{d,c} \times k \times 3\sqrt{(100 \times \rho_l \times f_{ck})}; v_{min}) + k_1 \times \sigma_{cp}) \times b_w \times d =$
 $(\max(0,12 \times 1,77 \times 3\sqrt{(100 \times 0,00398 \times 30)}; 0,452) + 0,15 \times 1,558) \times 1\,000 \times 337 = 242,3 \text{ kN}$
 $V_{Ed} = 190 \text{ kN} \leq VR_{dc} = 246,4 \text{ kN} \rightarrow$ Pouze konstrukční smyková výztuž.

Únosnost průřezu ve smyku Vyhovuje

Kombinace	Ved	Vrd	Využití
K2_vlak uprostřed rozpětí_6.10b	228	246	92,7%
K4_vlak na půlce klenby_6.10b	183	210	87,1%

Pouze konstrukční výztuž

Souhrn posouzení v 1/4 klenby - smyk

Kombinace	Ved	Vrd	Využití
K2_vlak uprostřed rozpětí_6.10b	0	0	0
K4_vlak na půlce klenby_6.10b	85	193	44,0%

Pouze konstrukční výztuž

Souhrn posouzení ve vrcholu klenby - smyk

Kombinace	Ved	Vrd	Využití
K2_vlak uprostřed rozpětí_6.10b	51	222	23,0%
K4_vlak na půlce klenby_6.10b	6	202	3,0%

Pouze konstrukční výztuž

Zatížitelnost - smyk

- Zatížitelnost byla určena iterační metodou

Násobek zatížení LM71	Využití
1,25	96 %
1,35	103 %
1,3	100 %
1,21	93%

$\alpha =$

$Z_{LM71} =$

1,21

1,3

2.8 MSP

při posouzení MSP je uvažováno svislé charakteristické zatížení LM71 s klasifikačním součinitelem a také dynamickým součinitelem Φ_2 dle ČSN EN 1991-2/Z4 - NA 2.56

a) Omezení napětí

Omezující hodnota napětí	$0,45 \cdot f_{ck} =$	13,5 MPa
Dynamický součinitel	$\Phi_2 =$	1,39
Klasifikační součinitel	$\alpha =$	1,21

Zatěžovací stav - charakteristické hodnoty	pata klenby		vrchol klenby		1/4 klenby	
	N	M	N	M	N	M
	kN/m	kNm/m	kN/m	kNm/m	kN/m	kNm/m
St. zatížení + BR + odst. Síly +vitr na celé	-297	6	-162	9	-189	-2
St. zatížení + BR + odst. Síly +vitr na 1/2	-267	32	-132	9	-177	-13
Svislé zatížení od LM71 na celé délce kl.	-162	27	-83	21	-138	-13
Svislé zatížení od LM71 na 1/2 délky kl.	-34	26	-42	11	-53	-15

Posouzení omezení napětí

Průřezový modul	W=	0,015 m3
Plocha	A=	0,3 m2

Pata klenby	σ_{RS} [MPa]	σ_{LM71} [MPa]	Z_{LM71}
LM71 na celé délce	1,39	2,34	>3
LM71 na 1/2 délky	3,023	1,847	>3

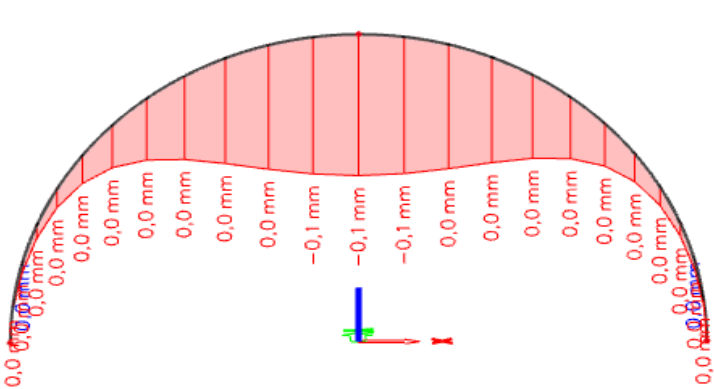
Vrchol klenby	σ_{RS} [MPa]	σ_{LM71} [MPa]	Z_{LM71}
LM71 na celé délce	1,14	1,677	>3
LM71 na 1/2 délky	1,04	0,873	>3

1/4 klenby	σ_{RS} [MPa]	σ_{LM71} [MPa]	Z_{LM71}
LM71 na celé délce	0,763	1,327	>3
LM71 na 1/2 délky	1,457	1,177	>3

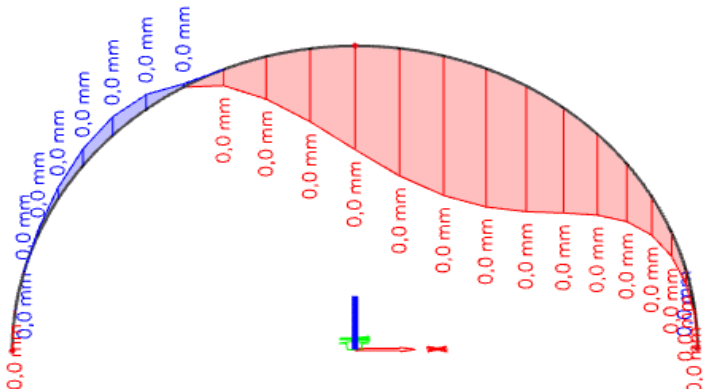
b) Omezení průhybu

Pozice	w_{RS}	w_{LM71}	k	w_{lim}	Z_{LM71}
Průhyb v 1/4 rozpětí	0,1	0,1	1/1000	4,1	>3
Průhyb uprostřed rozpětí	0,1	0,0	1/500	8,1	>3

... kombinace pro vlak na 1/2 klenby
... kombinace pro vlak na celé klenbě



Deformace od zatížení LM71 působící na celé klenbě



Deformace od zatížení LM71 působící na polovině klenby

2.9 POSOUZENÍ KOTEVNÍCH TRNŮ

pro výpočet vodorovné síly působící na kotevní trny byl použit součet sil z kombinované odezvy pro bezstykovou kolej a hodnota vnitřní síly vycházející z 2D modelu

Kombinovaná odezva dle ČSN EN 1991-2, čl. 6.5.4 pro bezstykovou kolej

Rozjezdové síly

Q _{lak}	33*La,b=	33*6,83=	225 kN	< 1000 kN
Splňuje podmínku				

Brzdné síly

Q _{lbk}	20*La.b =	=20*6,83=	137 kN	< 6000 kN
Splňuje podmínku				

ROZHODUJÍ ROZJEZDOVÉ SÍLY

Q _{lak,komb.} redukční součinitel ξ =	ξ*Q _{lak} = 0,6	=0,6*225=	135 kN
Návrhová hodnota Q _{lak} =	α*ψ ₀ *γ _Q *Q _{lak} =	=1,21*0,8*1,45*135=	189 kN

Teplotní změny

podélný smykový odpor nezatížené koleje k =		20 kN/m	
dilatační délka L _T =		6,83 m	
charakteristická podélná síla od teplotní změny F _{tk} =	0,6*k*L _T =	=0,6*20*6,83=	82 kN
návrhová podélná síla od teplotní změny F _{td} =	ψ ₀ *γ _Q *F _{tk} =	=1*1*82=	
kombinační součinitel ψ ₀ =		1,0	
součinitel spolehlivosti γ _Q		1,0	

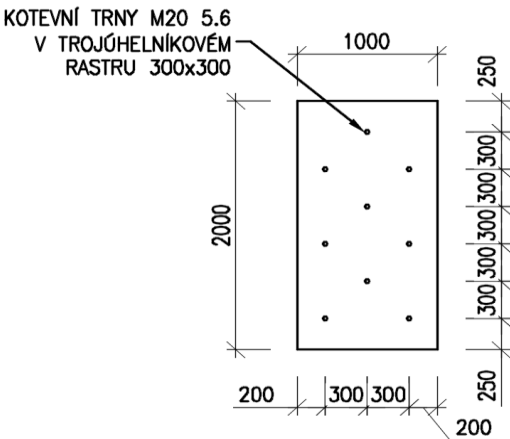
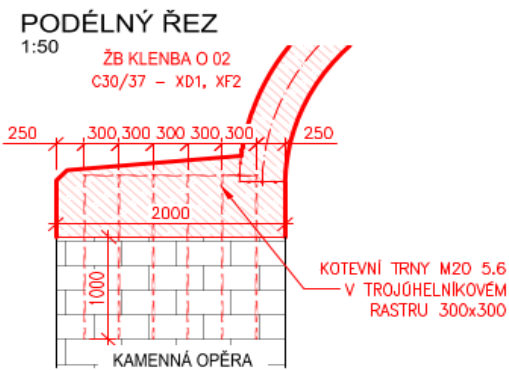
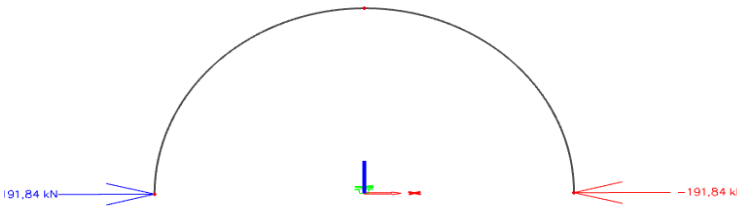
Podélné síly od deformace NK

délka prvního pole L =		6,83 m	
charakteristická podélná síla od deformace NK F_{Qk} =	$20 \cdot L$ =	$=20 \cdot 6,83$ =	137 kN
návrhová podélná síla od deformace NK F_{Qd} =	$\alpha \cdot \psi_0 \cdot \gamma_Q \cdot F_{Qk}$ =	$=1,21 \cdot 0,8 \cdot 1,45 \cdot 137$ =	192 kN

Celková podélná síla kombinované odezvy působící na most Q_l =			463 kN
Síla působící na 1 m spodní stavby klenby	$Q_l/b_{opěry}$ =	=463/4,76=	97 kN/m
šířka opěry b =	4,76 m		

Návrh trnů:

Vodorovná síla působící na 1 m klenby z modelu	228 kN	... kombinace K2_vlak uprostřed rozpětí_6.10b
Celková vodorovná síla Hed (odezva + model)=	325 kN	... síla z kombinované odezvy + síly vycházející z modelu viz obrázky níže



počet trnů na 1m působící na vodorovnou sílu n=	9	
síla na jeden trn	36,1 kN	
únosnost ve stříhu jendoho šroubu Fv,Rd =	$\alpha_v \cdot n_s \cdot f_{ub} \cdot A / \gamma_{M2} =$	=0,6*1*500*0,00031/1,25=
součinitel av	0,6 ... pro šrouby pevnosti 5.6	
plocha šroubu A =	0,00031 m^2	
mez pevnosti kotvy fub =	500 MPa	
počet stříhových rovin ns =	1	

Posouzení únosnosti na stříh

F _{ed} = 36,1	<	F _v , R _d = 74,4	Návrh vyhovuje	Využití: 49%
------------------------	---	--	----------------	--------------

Chemické kotvy budou navrtány do hloubky 1,0 m stávající opěry, vždy min 9 x M20 5.6 na 1 m šířky opěry. Vzdálenosti od okrajů min. 150 mm.
Rezerva ve využití je větší i vzhledem k nerovnoměrným účinkům vodorovné síly na jednotlivé trny

3. Čelní zdi a římsy

Pro posouzení čelních zdí a vykonzolovaných říms byl použit stejný 2D prutový model

3.1 ZATÍŽENÍ

3.1.1 STÁLÉ ZATÍŽENÍ

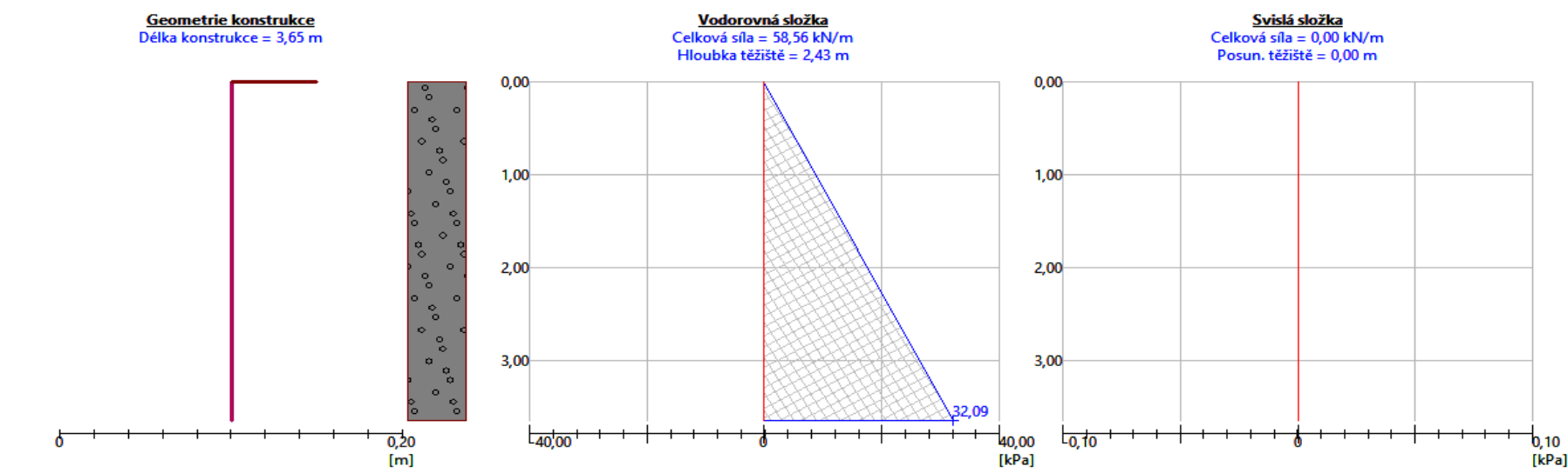
-VLASTNÍ TÍHA KONSTRUKCE

generována v softwaru SCIA Engineer 19.1

-OSTATNÍ STÁLÉ ZATÍŽENÍ

Železniční svršek	6 kN/m
zatěžovací šířka = šířce pražce = Br =	2,6 m
char. plošné zatížení $q_{G,svršek}$ =	2,31 kN/m ²
součinitel zatížení γ_G =	1,35

Zemina - zásyp z nesoudržné zeminy typu G3, $\gamma=19$ kN/m³, $\phi=32,5^\circ$
Zemní tlaky - uvažováno s klidovým zemním tlakem pro nesoudržné zeminy, výpočet zemního tlaku byl proveden v softwaru GEO5



char. hodnota maximální hodnota zemního tlaku σ =	32,1 kPa
součinitel zatížení γ_G =	1,35

3.1.2 PROMĚNNÉ ZATÍŽENÍ

-PŘÍTÍŽENÍ OD LM71

char. hodnota zatížení q_{LM71} =	156,25 kN/m
zatěžovací šířka = šířce pražce = Br =	2,6 m
char. plošné zatížení q_{LM71} =	60,10 kN/m ²
klasifikační součinitel α =	1,21
součinitel zatížení γ_Q =	1,5

-PŘÍTÍŽENÍ OD BOČNÍCH RÁZŮ

char. hodnota zatížení q_{BR} =	100 kN
rameno působitě r=	0,4 m
Moment od BR m=	40 kNm
Rozchod kolejí r1 =	1,5 m
dvojice sil F_{BR} =	26,67 kN
zatěžovací šířka = šířce pražce = Br/2 =	1,3 m
char. plošné zatížení q_{BR} =	20,51 kN/m
klasifikační součinitel α =	1,21
součinitel zatížení γ_Q =	1,5

-PŘÍTÍŽENÍ OD ODTŘEDIVÝCH SIL

svislé zatížení od odstředivých sil	21,2 kN/m ...viz zatížení klenby
zatěžovací šířka = šířce pražce = Br/2 =	1,3 m
char. plošné zatížení q_{OS} =	16,34 kN/m ²
klasifikační součinitel α =	1,21
součinitel zatížení γ_Q =	1,5

-PŘÍTÍŽENÍ OD VĚTRU

svislé zatížení od větru (dvojice sil) =	10,3 kN/m ...viz zatížení klenby
zatěžovací šířka = šířce pražce = Br/2 =	1,3 m
char. plošné zatížení q_{wk} =	7,92 kN/m ²

-ZATÍŽENÍ BOČNÍCH RÁZŮ NA KONZOLU

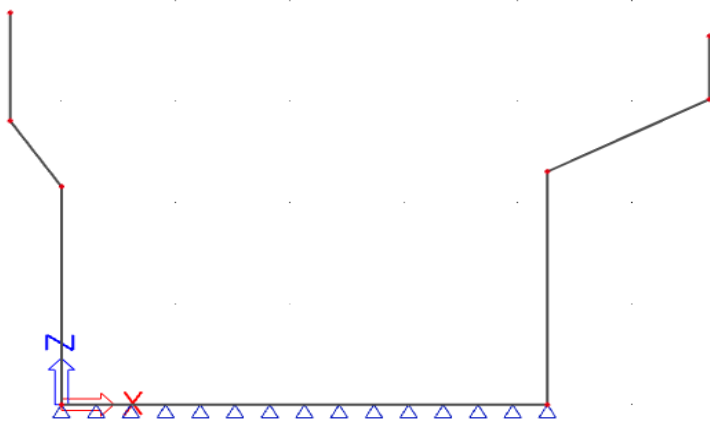
char. hodnota zatížení q_{BR} :	100 kN
ZŠ podélný směr	3,47 m
ZŠ příčný směr	0,8 m
char. plošné zatížení q_{BR} =	36,02 kN/m ²
klasifikační součinitel α =	1,21
součinitel zatížení γ_Q =	1,45

3.1.3 MODEL PRO ČELNÍ ZÍDKY A VYKONZOLOVANÉ ŘÍMSY

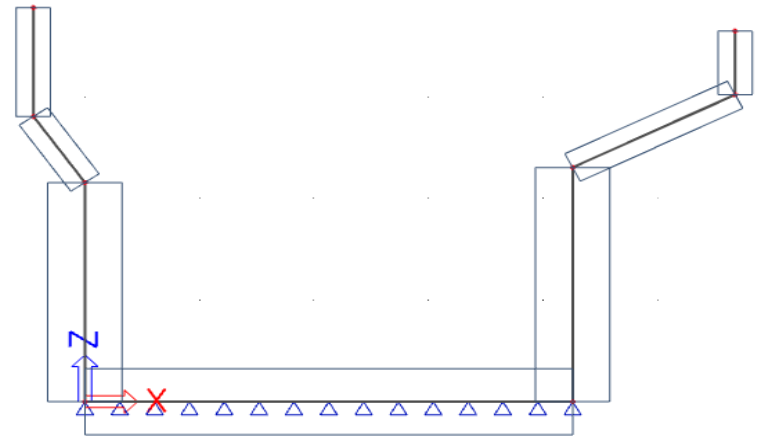
Model byl proveden jako prutový v softwaru SCIA Engineer 19.1 a posouzení betonového průřezu v softwaru FIN EC 2020 - Beton

V softwaru byly zohledněny kombinace 6.10a a 6.10b a dále byl posouzen na kombinaci s nejnepříznivějšími účinky

Byl posouzen "U rám", tedy řez mimo nosnou konstrukci, kde vznikají nenepříznivější účinky od zatížení

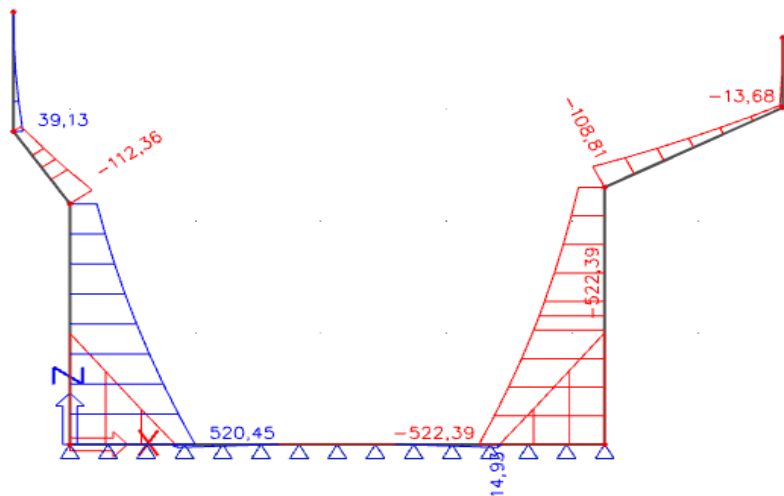


"U - rám" v softwaru SCIA Engineer

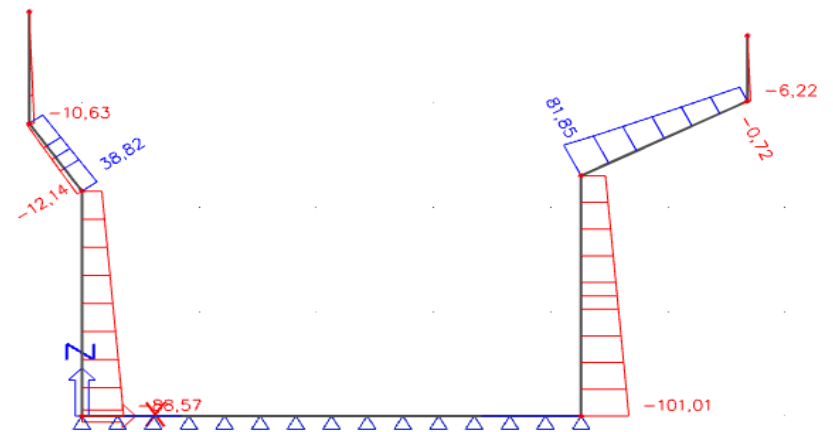


znázornění dimenzí jednotlivých prutů

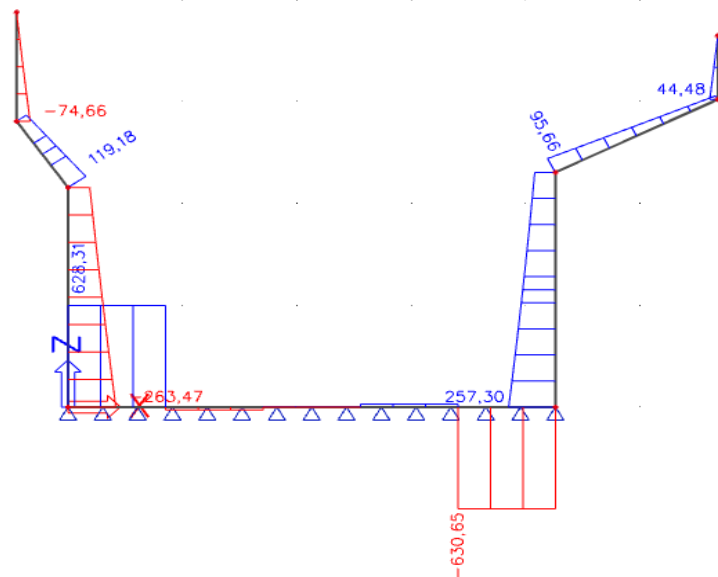
3.1.4 VNITŘNÍ SÍLY



průběh ohybových momentů M_y

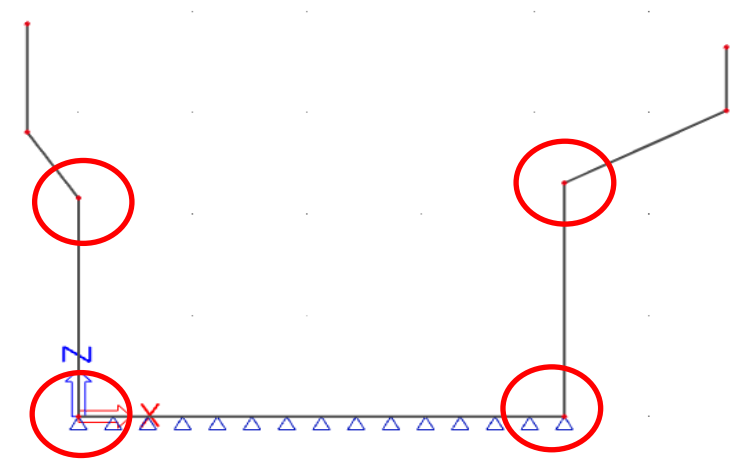


průběh normálových sil N



Průběh posouvající síly V_z

3.2 POSOUZENÍ NEJKRITICKĚJŠÍCH ŘEZŮ



Červeně jsou znázorněna kritická místa

3.2.1 POSOUZENÍ VYKONZOLOVANÉ ŘÍMSY

Norma

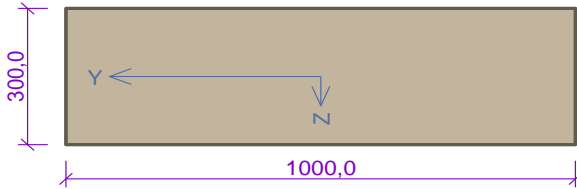
Norma EN 1992-1-1/Česko.

1 Řez 1

1.1 Vstupní data

Typ prvku: stěna
Prostředí: XD1, XF2

Průřez



Materiály

Beton: C 30/37
 $f_{ck} = 30,0 \text{ MPa}$; $f_{ctm} = 2,9 \text{ MPa}$; $E_{cm} = 33000 \text{ MPa}$
Ocel podélná: B500B
 $f_{yk} = 500,0 \text{ MPa}$; $E_s = 200000 \text{ MPa}$
Ocel příčná: B500
 $f_{yk} = 500,0 \text{ MPa}$; $E_s = 200000 \text{ MPa}$

Vnitřní síly - základní návrhová (MSÚ)

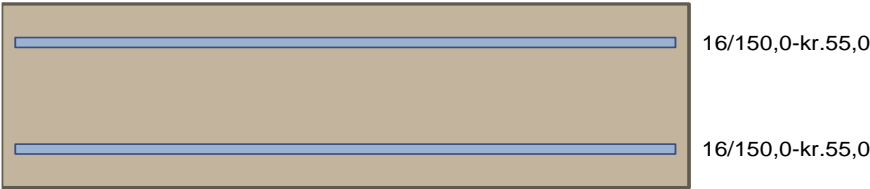
č.	Název zatěžovacího případu	N_{Ed} [kN]	M_{Edy} [kNm]	V_{Edz} [kN]	QP koef. [-]
1	Zat. případ 1	39,00	112,40	119,00	1,000

Vnitřní síly - charakteristická (MSP)

č.	Název zatěžovacího případu	N_{Ed} [kN]	M_{Edy} [kNm]	QP koef. [-]
1	Zat. případ 2	48,00	72,20	1,000

Podélná výztuž

Počet	Profil [mm]	Krytí [mm]	Umístění
6,667	16	55,0	horní výztuž
6,667	16	55,0	dolní výztuž



S tlačnou výztuží je počítáno.

Smyková výztuž

Spony

Profil: 10 mm; Vzdálenost: 150,0 mm; Střihy: 3

Minimální krytí

Třída konstrukce: S4
Návrhová životnost: 100 let
Výsledná třída konstrukce: S6
Betonáž na upravené podloží
 $c_{min} = \max(c_{min,b}; c_{min,dur}; 10) = \max(16; 45; 10) = 45 \text{ mm}$
 $c_{nom} = \max(c_{min} + \Delta c_{dev}; k_1) = \max(45 + 10; 40) = \max(0,055; 40) = 55 \text{ mm}$

1.2 Výsledky

Posouzení min. a max. stupně vyztužení

Stěna (celková výztuž):
 $\rho_s = 0,00894 \geq \rho_{s,min} = 0,002 \Rightarrow$ **Vyhovuje**
 $\rho_s = 0,00894 \leq \rho_{s,max} = 0,04 \Rightarrow$ **Vyhovuje**
Minimální plocha vodorovné výztuže: $A_{sh,min} = 670,2 \text{ mm}^2$

Posouzení konstrukčních zásad třmínků

Minimální průměr třmínků $d = 6 \text{ mm} \Rightarrow$ **Vyhovuje**
Maximální vzdálenost třmínků $s_{cl,max} = 240,0 \text{ mm} \Rightarrow$ **Vyhovuje**

Posouzení mezního stavu únosnosti

č.	Název	N_{Ed} [kN]	N_{Rd} [kN]	M_{Edy} [kNm]	M_{Rdy} [kNm]	V_{Edz} [kN]	V_{Rdz} [kN]	Posouzení
1	Zat. případ 1	39,00	1249,07	112,40	133,91	121,00	258,50	Vyhovuje

Mezní stav únosnosti **VYHOVUJE**

Posouzení mezního stavu použitelnosti

Mezní stav omezení napětí

č.	Název	N_{Ed} [kN]	M_{Edy} [kNm]	σ_c [MPa]	$\sigma_{s,max}$ [MPa]	$\sigma_{s,min}$ [MPa]	Posouzení
1	Zat. případ 2	48,00	72,20	12,40	263,92	-14,97	Vyhovuje
Limitní hodnoty $k_1 \times f_{ck} / k_3 \times f_{yk}$				18,00	400,00		

Mezní stav použitelnosti **VYHOVUJE**

Celkové posouzení - Průřez **VYHOVUJE**

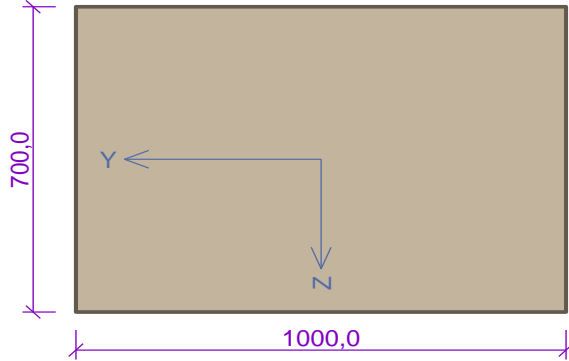
3.2.2 POSOUZENÍ ČELNÍ ZDI

2 Řez 2

2.1 Vstupní data

Typ prvku: stěna
Prostředí: XD1, XF2

Průřez



Materiály
Beton: C 30/37
 $f_{ck} = 30,0 \text{ MPa}$; $f_{ctm} = 2,9 \text{ MPa}$; $E_{cm} = 33000 \text{ MPa}$
Ocel podélná: B500B
 $f_{yk} = 500,0 \text{ MPa}$; $E_s = 200000 \text{ MPa}$
Ocel příčná: B500
 $f_{yk} = 500,0 \text{ MPa}$; $E_s = 200000 \text{ MPa}$

Vnitřní síly - základní návrhová (MSÚ)

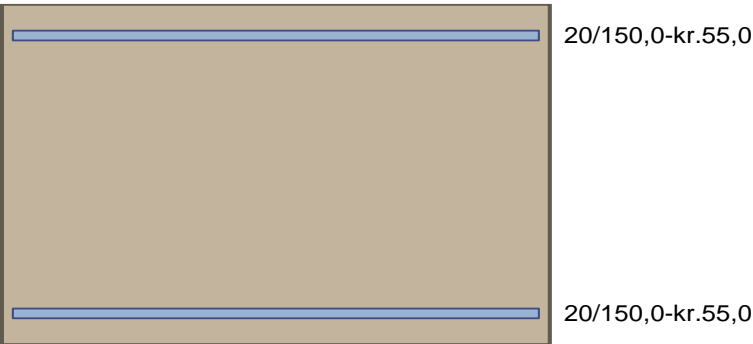
č.	Název zatěžovacího případu	N_{Ed} [kN]	M_{Edy} [kNm]	V_{Edz} [kN]	QP koef. [-]
1	Zat. případ 1	-101,00	522,00	631,00	1,000

Vnitřní síly - charakteristická (MSP)

č.	Název zatěžovacího případu	N_{Ed} [kN]	M_{Edy} [kNm]	QP koef. [-]
1	Zat. případ 2	-75,00	354,00	1,000

Podélná výztuž

Počet	Profil [mm]	Krytí [mm]	Umístění
6,667	20	55,0	horní výztuž
6,667	20	55,0	dolní výztuž



S tlačnou výztuží je počítáno.

Smyková výztuž

Spony
Profil: 10 mm; Vzdálenost: 150,0 mm; Střihy: 3

Minimální krytí

Třída konstrukce: S4
Návrhová životnost: 100 let
Výsledná třída konstrukce: S6
 $c_{min} = \max(c_{min,b}; c_{min,dur}; 10) = \max(20; 45; 10) = 45 \text{ mm}$
 $c_{nom} = c_{min} + \Delta c_{dev} = 45 + 10 = 55 \text{ mm}$

2.2 Výsledky

Posouzení min. a max. stupně vyztužení

Stěna (celková výztuž):
 $\rho_s = 0,00598 \geq \rho_{s,min} = 0,002 \Rightarrow$ **Vyhovuje**
 $\rho_s = 0,00598 \leq \rho_{s,max} = 0,04 \Rightarrow$ **Vyhovuje**
Minimální plocha vodorovné výztuže: $A_{sh,min} = 1\,047 \text{ mm}^2$

Posouzení konstrukčních zásad třmínků

Minimální průměr třmínků $d = 6 \text{ mm} \Rightarrow$ **Vyhovuje**
Maximální vzdálenost třmínků $s_{cl,max} = 300,0 \text{ mm} \Rightarrow$ **Vyhovuje**

Posouzení mezního stavu únosnosti

č.	Název	N_{Ed} [kN]	N_{Rd} [kN]	M_{Edy} [kNm]	M_{Rdy} [kNm]	V_{Edz} [kN]	V_{Rdz} [kN]	Posouzení
1	Zat. případ 1	-101,00	-15675,52	522,00	612,48	631,00	725,30	Vyhovuje

Mezní stav únosnosti **VYHOVUJE**

Posouzení mezního stavu použitelnosti

Mezní stav omezení napětí

č.	Název	N_{Ed} [kN]	M_{Edy} [kNm]	σ_c [MPa]	$\sigma_{s,max}$ [MPa]	$\sigma_{s,min}$ [MPa]	Posouzení
1	Zat. případ 2	-75,00	354,00	9,88	266,02	26,53	Vyhovuje
Limitní hodnoty $k_1 \times f_{ck} / k_3 \times f_{yk}$				18,00	400,00		

Mezní stav použitelnosti **VYHOVUJE**

Celkové posouzení - Průřez **VYHOVUJE**

3.2.3 ZATÍŽITELNOST ČELNÍ ZDI A ŘÍMSY

Zatížitelnost byla určena iteračně, tedy navyšováním násobku klasifikačního součinitele do okamžiku porušení průřezu

ŘÍMSA	
$Z_{LM71} =$	1,46 ...porušení tahem a ohybem
ČELNÍ ZEDĚ	
$Z_{LM71} =$	1,30 ...porušení smykem

4. ZAVĚŠENÉ KŘÍDLO

Model byl proveden jako deskostěnový v softwaru SCIA Engineer 19.1 a posouzení betonového průřezu v softwaru FIN EC 2020 - Beton

V softwaru byly zohledněny kombinace 6.10a a 6.10b a dále byl posouzen na kombinaci s nejnepříznivějšími účinky

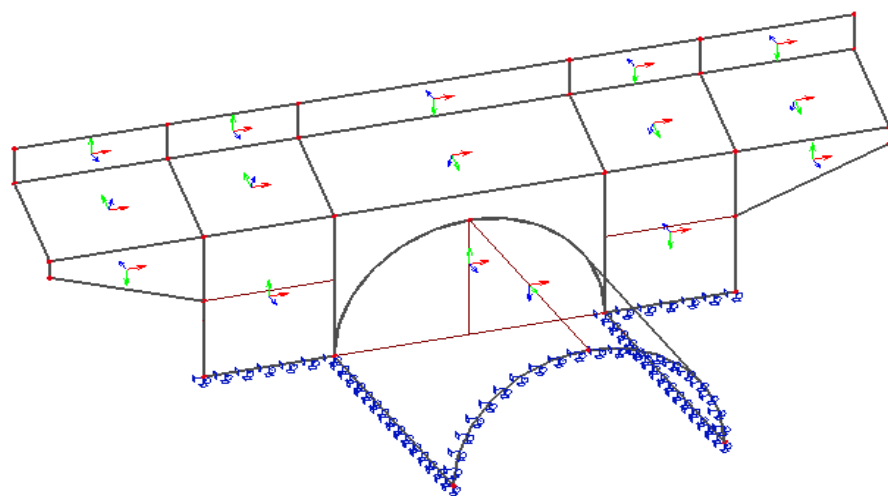
Pro co nejpřesnější výsledky byla vymodelována část klenby spolu s křídlem pro zohlednění tuhostí připojení křídla ke konstrukci.

V místech napojení na zbytek konstrukce je uvažováno vetknutí

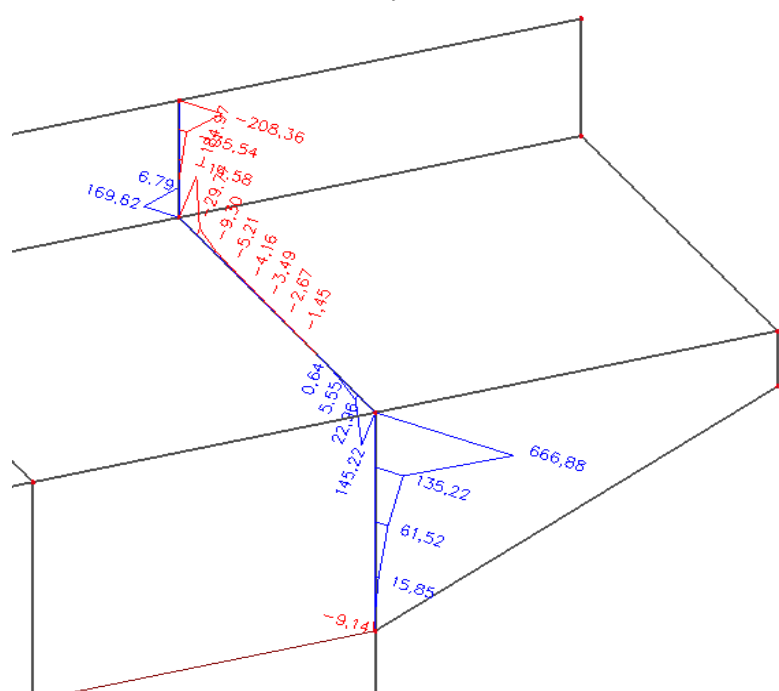
V místech, kde vznikají tzv "špičky" vnitřních sil, byla uvažována hodnota o jeden konečný prvek před vrcholem. Délka jednoho konečného prvku je 0,15 m.

Hodnoty zatížení z modelu byly brány v místě připojení zavěšeného křídla ke zbytku konstrukce. V tomto místě byl proveden řez konstrukcí.

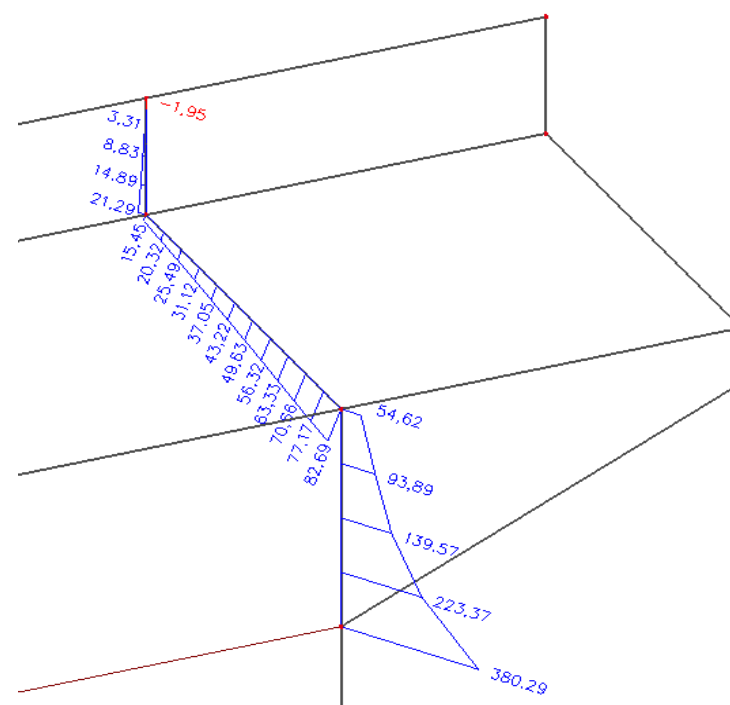
Hodnoty zatěžovacích stavů vychází z kapitoly 2. čelní zdi a římsy



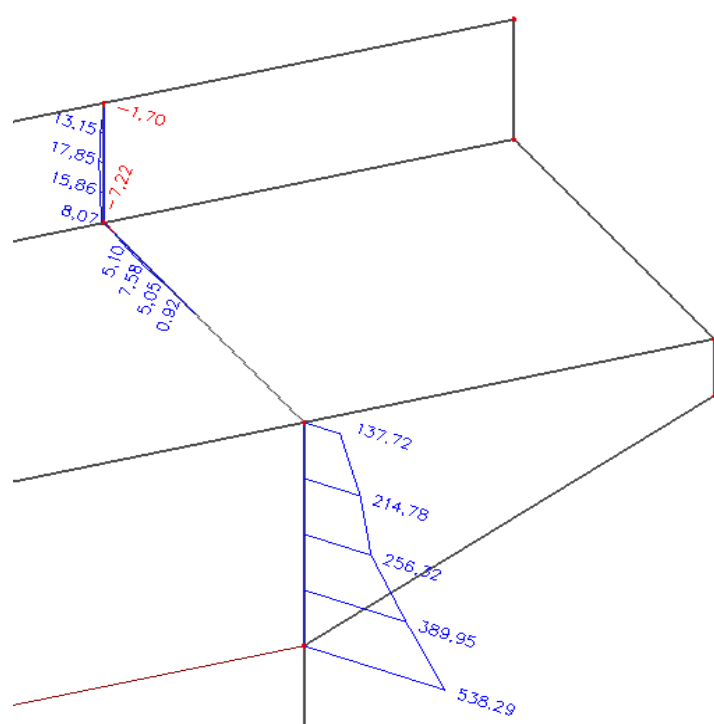
3D model části klenby



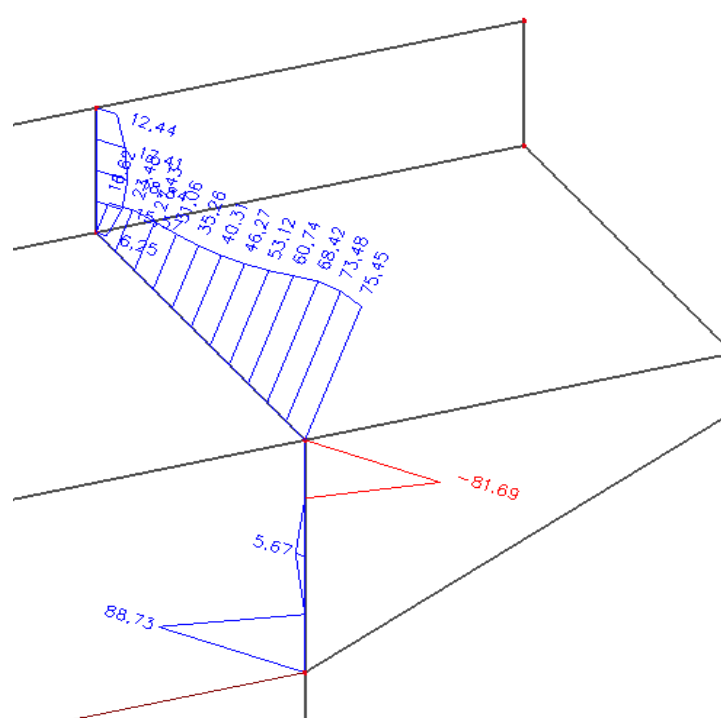
hodnoty vx



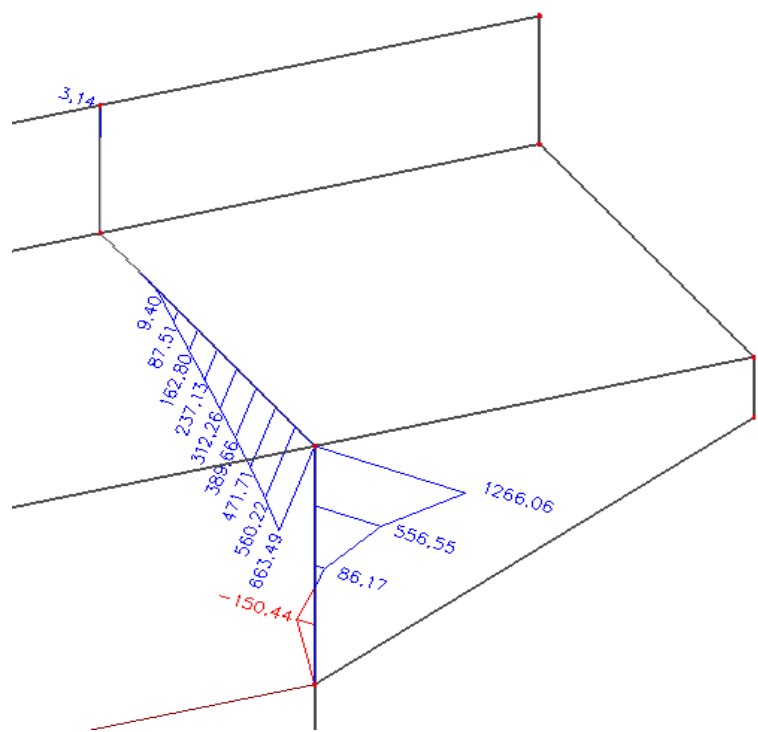
hodnoty vy



hodnoty myD+



hodnoty myD-



hodnoty nxD

4.1 POSOUZENÍ

Posouzena je pravá římsa vzhledem k větším účinkům zatížení. Levá římsa bude vyarmována podle návrhu pravé římsy.

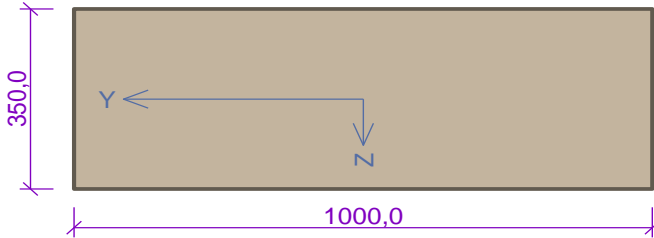
4.1.1 POSOUZENÍ ŘÍMSOVÉ ČÁSTI

3 Řez římsou zavěšeného křídla

3.1 Vstupní data

Typ prvku: stěna
Prostředí: XD1, XF2

Průřez



Materiály

Beton: C 30/37
 $f_{ck} = 30,0 \text{ MPa}$; $f_{ctm} = 2,9 \text{ MPa}$; $E_{cm} = 33000 \text{ MPa}$
Ocel podélná: B500B
 $f_{yk} = 500,0 \text{ MPa}$; $E_s = 200000 \text{ MPa}$
Ocel příčná: B500
 $f_{yk} = 500,0 \text{ MPa}$; $E_s = 200000 \text{ MPa}$

Vnitřní síly - základní návrhová (MSÚ)

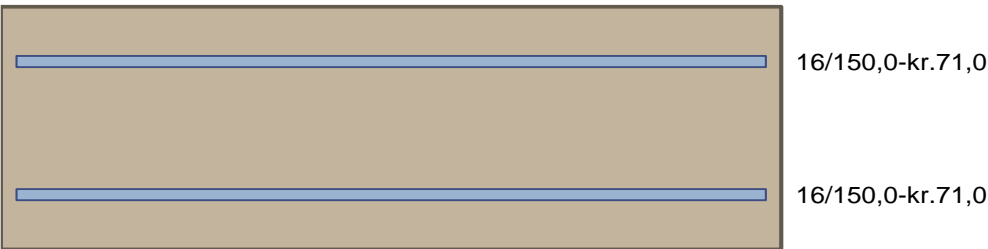
č.	Název zatěžovacího případu	N_{Ed} [kN]	M_{Edy} [kNm]	M_{Edz} [kNm]	V_{Edz} [kN]	V_{Edy} [kN]	T_{Ed} [kNm]	QP koef. [-]
1	Zat. případ 1	560,00	80,00	0,00	105,00	0,00	0,00	1,000

Vnitřní síly - charakteristická (MSP)

č.	Název zatěžovacího případu	N_{Ed} [kN]	M_{Edy} [kNm]	M_{Edz} [kNm]	QP koef. [-]
1	Zat. případ 2	413,00	54,00	0,00	1,000

Podélná výztuž

Počet	Profil [mm]	Krytí [mm]	Umístění
6,667	16	71,0	horní výztuž
6,667	16	71,0	dolní výztuž



S tlačenou výztuží je počítáno.

Smyková výztuž

Spony svislé
Profil: 10 mm; Vzdálenost: 150,0 mm; Střihy: 3

Minimální krytí

71,0 mm (uživ.)

3.2 Výsledky

Posouzení min. a max. stupně vyztužení

Stěna (celková výztuž):
 $\rho_s = 0,00766 \geq \rho_{s,min} = 0,002 \Rightarrow$ **Vyhovuje**
 $\rho_s = 0,00766 \leq \rho_{s,max} = 0,04 \Rightarrow$ **Vyhovuje**
Minimální plocha vodorovné výztuže: $A_{sh,min} = 670,2 \text{ mm}^2$

Posouzení konstrukčních zásad třmínků

Minimální průměr třmínků $d = 6 \text{ mm} \Rightarrow$ **Vyhovuje**
Maximální vzdálenost třmínků $s_{cl,max} = 240,0 \text{ mm} \Rightarrow$ **Vyhovuje**

Posouzení mezního stavu únosnosti

č.	Název	N_{Ed} N_{Rd} [kN]	M_{Edy} M_{Rdy} [kNm]	M_{Edz} M_{Rdz} [kNm]	V_{Edz} V_{Rdz} [kN]	V_{Edy} V_{Rdy} [kN]	Posouzení
1	Zat. případ 1	560,00	80,00	0,00	105,00	0,00	Vyhovuje
		1249,07	101,00	0,00	174,06	0,00	

Mezní stav únosnosti **VYHOVUJE**

Posouzení mezního stavu použitelnosti

Mezní stav omezení napětí

č.	Název	N_{Ed} [kN]	M_{Edy} [kNm]	M_{Edz} [kNm]	σ_c [MPa]	$\sigma_{s,max}$ [MPa]	$\sigma_{s,min}$ [MPa]	Posouzení
1	Zat. případ 2	413,00	54,00	0,00	7,41	332,20	-65,04	Vyhovuje
Limitní hodnoty $k_1 \times f_{ck} / k_3 \times f_{yk}$					18,00	400,00		

Mezní stav použitelnosti **VYHOVUJE**

Celkové posouzení - Průřez **VYHOVUJE**

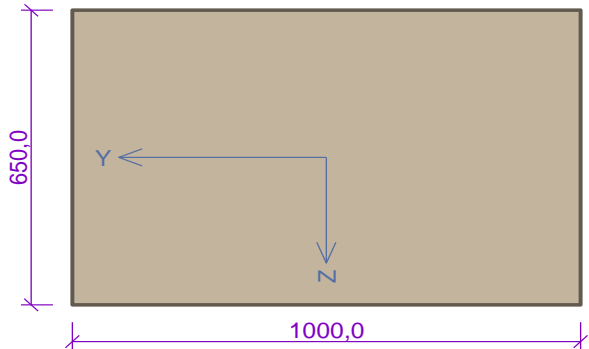
4.1.2 POSOUZENÍ DRÍKU ZAVĚŠENÉHO KŘÍDLA

4 Řez dríku zavěšeného křídla

4.1 Vstupní data

Typ prvku: stěna
Prostředí: XD1, XF2

Průřez



Materiály

Beton: C 30/37
 $f_{ck} = 30,0 \text{ MPa}$; $f_{ctm} = 2,9 \text{ MPa}$; $E_{cm} = 33000 \text{ MPa}$
Ocel podélná: B500B
 $f_{yk} = 500,0 \text{ MPa}$; $E_s = 200000 \text{ MPa}$
Ocel příčná: B500
 $f_{yk} = 500,0 \text{ MPa}$; $E_s = 200000 \text{ MPa}$

Vnitřní síly - základní návrhová (MSÚ)

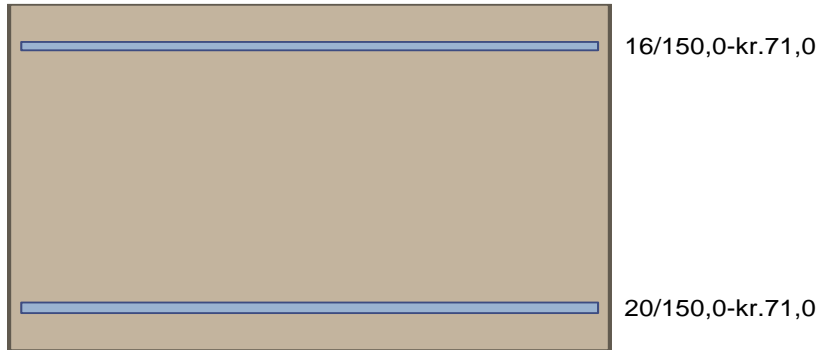
č.	Název zatěžovacího případu	N_{Ed} [kN]	M_{Edy} [kNm]	M_{Edz} [kNm]	V_{Edz} [kN]	V_{Edy} [kN]	T_{Ed} [kNm]	QP koef. [-]
1	Zat. případ 1	557,00	215,00	0,00	229,00	0,00	0,00	1,000

Vnitřní síly - charakteristická (MSP)

č.	Název zatěžovacího případu	N_{Ed} [kN]	M_{Edy} [kNm]	M_{Edz} [kNm]	QP koef. [-]
1	Zat. případ 2	409,00	156,00	0,00	1,000

Podélná výztuž

Počet	Profil [mm]	Krytí [mm]	Umístění
6,667	16	71,0	horní výztuž
6,667	20	71,0	dolní výztuž



S tlačnou výztuží je počítáno.

Smyková výztuž

Spony svislé
Profil: 10 mm; Vzdálenost: 150,0 mm; Střihy: 3

Minimální krytí

71,0 mm (uživ.)

4.2 Výsledky

Posouzení min. a max. stupně vyztužení

Stěna (celková výztuž):
 $\rho_s = 0,00528 \geq \rho_{s,min} = 0,002 \Rightarrow$ **Vyhovuje**
 $\rho_s = 0,00528 \leq \rho_{s,max} = 0,04 \Rightarrow$ **Vyhovuje**
Minimální plocha vodorovné výztuže: $A_{sh,min} = 858,7 \text{ mm}^2$

Posouzení konstrukčních zásad třmínků

Minimální průměr třmínků $d = 6 \text{ mm} \Rightarrow$ **Vyhovuje**
Maximální vzdálenost třmínků $s_{cl,max} = 240,0 \text{ mm} \Rightarrow$ **Vyhovuje**

Posouzení mezního stavu únosnosti

č.	Název	N_{Ed} N_{Rd} [kN]	M_{Edy} M_{Rdy} [kNm]	M_{Edz} M_{Rdz} [kNm]	V_{Edz} V_{Rdz} [kN]	V_{Edy} V_{Rdy} [kN]	Posouzení
1	Zat. případ 1	557,00	215,00	0,00	229,00	0,00	Vyhovuje
		1600,38	382,23	0,00	373,49	0,00	

Mezní stav únosnosti **VYHOVUJE**

Posouzení mezního stavu použitelnosti

Mezní stav omezení napětí

4.1.3 ZATÍŽITELNOST ČELNÍ ZDI A ŘÍMSY

Zatížitelnost byla určena iteračně, tedy navyšováním násobku klasifikačního součinitele do okamžiku porušení průřezu

ŘÍMSA

$Z_{LM71} = 1,52$...porušení tahem a ohybem

DŘÍK

$Z_{LM71} = 2,29$...porušení tahem a ohybem

Topologie

Projekt

Datum : 23.9.2021

Celkové nastavení výpočtu

Geometrie úlohy :	Rovinná
Typ výpočtu :	Napjatost
Tunely :	ano
Umožnit zadat vodu pomocí výpočtu ustáleného proudění :	ne
Umožnit dynamický výpočet zemětřesení :	ne
Betonové konstrukce :	EN 1992-1-1 (EC2)
Výpočet primární napjatosti (1. fáze) :	Geostatická napjatost
Podrobné parametry generování sítě :	ne
Podrobné parametry zemin :	ne
Speciální modely zemin :	ne
Zatížení teplotou :	ne
Podrobné výsledky :	ne

Parametry zemin - vztlak

Číslo	Název	Vzorek	γ_{sat} [kN/m³]	γ_s [kN/m³]	n [-]
1	Třída G2, středně ulehlá		20,00		
2	Třída G3, středně ulehlá		19,00		
3	PK		21,00		
4	Třída F8, konzistence tuhá		20,50		

Parametry zemin

Třída G2, středně ulehlá

Materiálový model : elastický
Objemová tíha : $\gamma = 20,00$ kN/m³
Poissonovo číslo : $\nu = 0,20$
Modul pružnosti : $E = 30,00$ MPa
Obj.tíha sat.zeminy : $\gamma_{sat} = 20,00$ kN/m³

Třída G3, středně ulehlá

Materiálový model : elastický
Objemová tíha : $\gamma = 19,00$ kN/m³
Poissonovo číslo : $\nu = 0,25$
Modul pružnosti : $E = 30,00$ MPa
Obj.tíha sat.zeminy : $\gamma_{sat} = 19,00$ kN/m³

Typy kontaktů

kontakt 2

Materiálový model : elastický
Smyková tuhost : $K_s = 20000,00$ kN/m³
Normálová tuhost : $K_n = 20000,00$ kN/m³

kontakt 2

Materiálový model : elastický
Smyková tuhost : $K_s = 10000,00$ kN/m³
Normálová tuhost : $K_n = 50000,00$ kN/m³

PK

Materiálový model : elastický
Objemová tíha : $\gamma = 21,00$ kN/m³
Poissonovo číslo : $\nu = 0,20$
Modul pružnosti : $E = 40,00$ MPa
Obj.tíha sat.zeminy : $\gamma_{sat} = 21,00$ kN/m³

Třída F8, konzistence tuhá

Materiálový model : elastický
Objemová tíha : $\gamma = 20,50$ kN/m³
Poissonovo číslo : $\nu = 0,42$
Modul pružnosti : $E = 5,00$ MPa
Obj.tíha sat.zeminy : $\gamma_{sat} = 20,50$ kN/m³

Generování sítě

Parametry generování sítě

Délka hrany prvků : 0,30 [m]
Vyhlazovat síť : ano
Generovat víceuzlové prvky : ano

Výsledek generování sítě

Síť konečných prvků byla úspěšně vygenerována.
Počet uzlů 8769
Počet prvků 5059 (plošných 3463, nosníkových 399, přechodových 1197)

V modelu bylo zohledněno 5 fází

- 1. fáze - původní klenba v zasypaném stavu
- 2. fáze - odtěžení zemniy kolem klenby a ubourání NK
- 3. fáze - výstavba nové NK
- 4. fáze - zásep nové NK
- 5. fáze - přidání zatížení od vlaku a ostatních zatížení

5.1.2 VNITŘNÍ SÍLY

<u>V patě opěry:</u>		<u>Ve vrcholu opěry:</u>		<u>Ve středu opěry:</u>	
Ned=	629 kN	Ned=	269 kN	Ned=	452 kN
Med=	155 kNm	Med=	218 kNm	Med=	168 kNm
Ved=	204 kN	Ved=	47 kN	Ved=	79 kN

5.1.3 PEVNOST ZDIVA V TLAKU

Charakteristická pevnost v tlaku zdiva f_k určena dle předpisu SŽ S5/1:		
pevnost malty v tlaku f_m =	0,5 Mpa	...není známa, uvádíme 0,5 Mpa, což po provedení injektáže a přespárování lze docílit
pevnost kamene v tlaku f_b =	21 Mpa	...naměřená minimální hodnota z STP
konstanta K =	0,36	...dle kapitoly D.1.5.1 kvádrové zdivo na vápenocementovou maltu
charakteristická pevnost zdiva v tlaku $f_k = K \cdot f_b^{\alpha} \cdot f_m^{\beta} =$		
2,46 MPa		
exponent α zohledňující tl. Ložných spar =	0,7	...pro obyčejnou maltu dle D.1.5.1
exponent β zohledňující druh malty =	0,3	...pro obyčejnou maltu dle D.1.5.1
Návrhová pevnost v tlaku $f_d = f_k / \gamma_m =$		
1,23 MPa		
součinitel materiálu γ_m =	2	

5.1.4 POSOUZENÍ NEVYZTUŽENÉ ZDI V TLAKU V PATĚ STĚNY

$\Phi_i =$	$1 - 2 \cdot e_i / t =$	0,74	
$e_i =$	$M_{id} / N_{id} + e_{he} + e_{init} =$	0,26 m	
$e_{init} =$	$h_{ef} / 450 =$	0,01 m	
$h_{ef} =$		4,1 m	
$N_{id} =$	629 kN	...	vč. Klasifikačního souč.
$M_{id} =$	155 kN	...	vč. Klasifikačního souč.
$e_{he} =$	0 m		
$t =$	2 m		
Nrd = $\Phi^* t \cdot f_d =$		1833,97 kN	> 629 kN
			vyhovuje využití 34,30 %

5.1.5 POSOUZENÍ NEVYZTUŽENÉ ZDI V TLAKU VE VRCHOLU STĚNY

$\Phi_i =$	$1 - 2 \cdot e_i / t =$	0,18	
$e_i =$	$M_{id} / N_{id} + e_{he} + e_{init} =$	0,82 m	
$e_{init} =$	$h_{ef} / 450 =$	0,01 m	
$h_{ef} =$		4,1 m	
$N_{id} =$	269 kN	...	vč. Klasifikačního souč.
$M_{id} =$	218 kN	...	vč. Klasifikačního souč.
$e_{he} =$	0 m		
$t =$	2 m		
Nrd = $\Phi^* t \cdot f_d =$		444,61 kN	> 269 kN
			vyhovuje využití 60,50 %

5.1.6 POSOUZENÍ NEVYZTUŽENÉ ZDI V TLAKU UPROSTŘED STĚNY

$\Phi_m =$	$A_1 \cdot e^{-u^2/2} =$	0,59	
$e_{mk} =$	$e_m + e_k =$	0,41 m	
$e_m =$	$M_{md} / N_{md} + e_{hm} + e_{init} =$	0,41 m	
$e_{init} =$	$h_{ef} / 450 =$	0,01 m	
$h_{ef} =$		4,1 m	
$N_{md} =$	409 kN	...	vč. Klasifikačního souč.
$M_{md} =$	165 kN	...	vč. Klasifikačního souč.
$e_k =$	$0,002 \cdot \Phi_{oo} \cdot h_{ef} / t_{ef} \cdot \sqrt{t \cdot e_m} =$	0,00 m	
$t_{ef} =$		2 m	
$h_{ef} =$		4,1 m	
$\Phi_{oo} =$	0,1	...	dle tabulky 2.10 ČSN EN 1996-1-1
$A_1 =$	$1 - 2 \cdot e_{mk} / t =$	0,59	
$u =$	$(\lambda - 0,063) / (0,73 - 1,17 \cdot e_{mk} / t) =$	0,004	
$\lambda =$	$(h_{ef} / t_{ef}) \cdot \sqrt{f_k / E} =$	0,06	
$E =$	$1000 \cdot f_k =$	2463,47 Mpa	
Nrd = $\Phi_m \cdot t \cdot f_d =$		1447,06 kN	> 409 kN
			vyhovuje využití 28,26 %

5.1.7 POSOUZENÍ NEVYZTUŽENÉ ZDI VE SMYKU

Ved=		204,00 kN	...umístění vlaku mimo most
fvd =	f _{vk} /γ _M =	0,11 MPa	
t=		1,00 m	
lc =		2,00 m	...délka tlačené části stěny
f _{vk} =	f _{vk0} + 0,4*σ _d =	0,23 MPa	
σ _d =		0,31 MPa	
f _{vk0} =		0,10 MPa	...dle SŽ S5/1
f _{vt} =		1,20 MPa	...dle SŽ S5/1
součinitel materiálu γ _m =		2	

V _{rd} =	f _{vd} *t*lc =	225,80 kN	>	204,00 kN	vyhovuje využití	90,35 %
-------------------	-------------------------	-----------	---	-----------	---------------------	---------

5.1.8 POSOUZENÍ NEVYZTUŽENÉ ZDI V OHYBU

Med =		225,00 kNm	...vč. Klasifikačního souč. 1,21
f _{xk1} =		0,05 MPa	...dle tabulky v ČSN EN 1996-1-1
f _{xk2} =		0,20 MPa	...dle tabulky v ČSN EN 1996-1-1
f _{xd1} =	f _{xk1} /γ _M =	0,03 MPa	
f _{xd2} =	f _{xk2} /γ _M =	0,10 MPa	
σ _d =	0,2*f _d =	0,25 MPa	
součinitel materiálu γ _m =		2	
f _{xd1,app} =	f _{xd1} +σ _d =	0,30 MPa	
f _{xd2,app} =	f _{xd2} +σ _d =	0,45 MPa	

M _{rd} =	f _{xd} *Z =	197,56 kNm
Z =	1/6*bh^2 =	0,67 m ³
b =		1 m
h =		2 m

M _{rd} =	f _{xd} *Z =	197,56 kN	<	225,00 kN	nevyhovuje pro α=1,21 využití	113,89 %
-------------------	----------------------	-----------	---	-----------	----------------------------------	----------

5.1.9 ZATÍŽITELNOST DŘÍKU OPĚRY

Zatížitelnost byla určena iteračně, tedy navyšováním násobku klasifikačního součinitele do okamžiku porušení průřezu

Z _{LM71} =	1,06	...porušení ohybem
---------------------	------	--------------------

5.2 POSOUZENÍ PILOTY

Posouzení pilot bude provedeno dle **kategorie zatížitelnosti A na požadavek OŘ Brno**

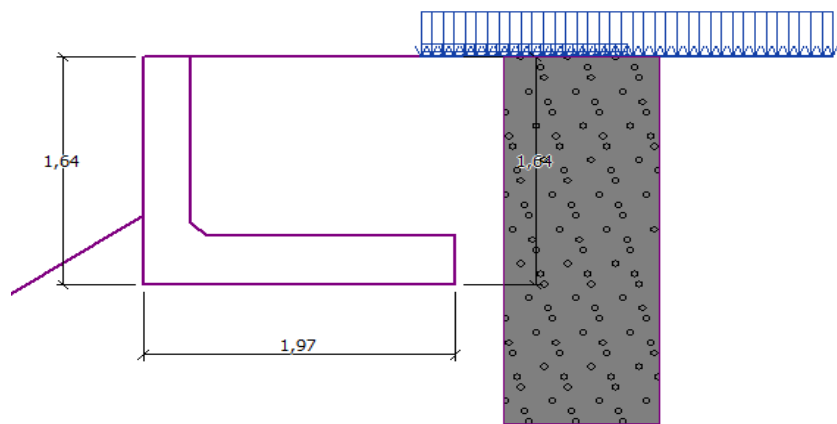
Vzhledem k rozsahu prací na mostě, nebyl požadavek na geotechnický vrt a také nebyl proveden stavebně technický průzkum základové spáry

Vzhledem k tomu, že:

- Nejsou provedeny průzkumy základové spáry a nelze zjistit stav dřevěných pilot
- Není proveden geotechnický vrt a nelze určit HPV
- Proběhla úplná konsolidace podloží během životnosti mostu
- Téměř se nemění zatížení působící na spodní stavbu
- Nejsou ve spodní stavbě viditelné významné poruchy
- Nemění se statický systém v novém stavu působící na spodní stavbu

Určujeme zatížitelnost základové spáry ZLM71 < 1,0 s přechodností na D4/100

5.3 POSOUZENÍ PŘECHODOVÉ ZÍDKY



Vstupní data

Projekt

Datum : 28.2.2022

Nastavení

Standardní - EN 1997 - DA2

Materiály a normy

Betonové konstrukce : EN 1992-1-1 (EC2)
Součinitele EN 1992-1-1 : standardní

Výpočet zdí

Výpočet aktivního tlaku : Coulomb (ČSN 730037)
Výpočet pasivního tlaku : Caquot-Kerisel (ČSN 730037)
Výpočet zemětřesení : Mononobe-Okabe
Tvar zemního klínu : počítat šikmý
Výstupek základu : výstupek uvažovat jako šikmou základovou spáru
Dovolená excentricita : 0,333
Metodika posouzení : výpočet podle EN 1997
Návrhový přístup : 2 - redukce zatížení a odporu

Součinitele redukce zatížení (F)				
Dočasná návrhová situace				
		Nepříznivé		Příznivé
Stálé zatížení :	$\gamma_G =$	1,35	[-]	1,00 [-]
Proměnné zatížení :	$\gamma_Q =$	1,50	[-]	0,00 [-]
Zatížení vodou :	$\gamma_w =$	1,35	[-]	

Materiál konstrukce

Objemová tíha $\gamma = 25,00 \text{ kN/m}^3$
Výpočet betonových konstrukcí proveden podle normy EN 1992-1-1 (EC2).

Beton: C 30/37

Válcová pevnost v tlaku $f_{ck} = 30,00 \text{ MPa}$
Pevnost v tahu $f_{ctm} = 2,90 \text{ MPa}$

Ocel podélná: B500

Mez kluzu $f_{yk} = 500,00 \text{ MPa}$

Parametry zemin

Třída G3, středně ulehlá

Objemová tíha : $\gamma = 19,00 \text{ kN/m}^3$
Napjatost : efektivní
Úhel vnitřního tření : $\varphi_{ef} = 32,50^\circ$
Soudržnost zeminy : $c_{ef} = 0,00 \text{ kPa}$
Třecí úhel kce-zemina : $\delta = 0,00^\circ$
Zemina : nesoudržná
Obj.tíha sat.zeminy : $\gamma_{sat} = 19,00 \text{ kN/m}^3$

Posouzení celé zdi

Posouzení na překlpení
Moment vzdorující $M_{res} = 47,00 \text{ kNm/m}$
Moment klopící $M_{ovr} = 4,36 \text{ kNm/m}$

Zed' na překlpení VYHOVUJE

Posouzení na posunutí
Vodor. síla vzdorující $H_{res} = 61,30 \text{ kN/m}$
Vodor. síla posunující $H_{act} = 44,11 \text{ kN/m}$

Zed' na posunutí VYHOVUJE

Celkové posouzení - ZED' VYHOVUJE

Maximální napětí v základové spáře : 65,38 kPa

Posouzení únosnosti základové půdy

Tvar napětí v základové půdě : obdélník

Posouzení excentricity
Max. excentricita normálové síly $e = 0,044$
Maximální dovolená excentricita $e_{alw} = 0,333$

Excentricita normálové síly VYHOVUJE

Posouzení únosnosti základové spáry
Únosnost základové půdy $R = 100,00 \text{ kPa}$
Součinitel redukce odporu základové půdy $\gamma_{Rv} = 1,40$
Max. napětí v základové spáře $\sigma = 65,38 \text{ kPa}$
Návrhová únosnost základové půdy $R_d = 71,43 \text{ kPa}$

Únosnost základové půdy VYHOVUJE

Posouzení dříku - zadní výztuž

Posouzení zdi v pracovní spáře 1,29 m od koruny zdi
Vyztužení a rozměry průřezu
6 ks profil 16,0 mm, krytí 50,0 mm
Zadaná plocha výztuže = 1206,4 mm²
Nutná plocha výztuže = 513,9 mm²
Šířka průřezu = 1,00 m
Výška průřezu = 0,40 m
Stupeň vyztužení $\rho = 0,35 \% > 0,15 \% = \rho_{min}$
Poloha neutrálné osy $x = 0,04 \text{ m} < 0,21 \text{ m} = x_{max}$
Posouvající síla na mezi únosnosti $V_{Rd} = 158,75 \text{ kN} > 61,82 \text{ kN} = V_{Ed}$
Moment na mezi únosnosti $M_{Rd} = 175,83 \text{ kNm} > 30,01 \text{ kNm} = M_{Ed}$

Průřez VYHOVUJE.

Posouzení dříku - zadní výztuž - MEd

Posouzení zdi v pracovní spáře 1,19 m od koruny zdi
Vyztužení a rozměry průřezu
6 ks profil 16,0 mm, krytí 50,0 mm
Zadaná plocha výztuže = 1206,4 mm²
Nutná plocha výztuže = 513,9 mm²
Šířka průřezu = 1,00 m
Výška průřezu = 0,30 m
Stupeň vyztužení $\rho = 0,50 \% > 0,15 \% = \rho_{min}$
Poloha neutrálné osy $x = 0,04 \text{ m} < 0,15 \text{ m} = x_{max}$
Moment na mezi únosnosti $M_{Rd} = 124,03 \text{ kNm} > 22,35 \text{ kNm} = M_{Ed}$

Průřez VYHOVUJE.

Posouzení paty

Vyztužení a rozměry průřezu
6 ks profil 16,0 mm, krytí 50,0 mm
Zadaná plocha výztuže = 1206,4 mm²
Nutná plocha výztuže = 737,4 mm²
Šířka průřezu = 1,00 m
Výška průřezu = 0,35 m
Stupeň vyztužení $\rho = 0,41 \% > 0,15 \% = \rho_{min}$
Poloha neutrálné osy $x = 0,03 \text{ m} < 0,18 \text{ m} = x_{max}$
Posouvající síla na mezi únosnosti $V_{Rd} = 148,20 \text{ kN} > 47,50 \text{ kN} = V_{Ed}$
Moment na mezi únosnosti $M_{Rd} = 146,28 \text{ kNm} > 91,05 \text{ kNm} = M_{Ed}$

Průřez VYHOVUJE.

MIKROPILOTY JSOU NAVRŽENY POUZE PRO ZAJIŠTĚNÍ STABILITY PROTI POSUNUTÍ A POOTOČENÍ VŮČI NK.

6. PŘEHLED ZATÍŽITELNOSTI

A Identifikace mostu

TÚ: 2101 Brno - Přerov
DÚ: 02
km: evidenční km 4,894

B Identifikace části mostu

Část mostu: ŽB klenba
Pořadové číslo: 1.
Pod kolejí č.: 1.

C Doplnující údaje části mostu

Kategorie zatížitelnosti: A (základová spára) a C (NK a SS)
Výpočetní model: 2D prutový model, 3D deskostěnový model
Geometrie koleje uvažována na začátku, uprostřed a na konci mostu

	na začátku	uprostřed	na konci
poloměr oblouku:	557 m	557 m	557 m
převýšení koleje:	119 mm	119 mm	119 mm
excentricita koleje vůči ose mostu:	555 mm	505 mm	483 mm (+ znamená vpravo od osy mostu)

Popis závad uvažovaných v přepočtu: bez významných závad
Datum zjištění zpracovaného stavu mostu: Správa železnic s.o. : /
zpracovatel přepočtu: 5. / 5. / 2022

Podrobná analýza zatížitelnosti rozhodujících prvků

pozn.: Položky zatížitelnosti (prvek, detail prvku, namáhání) dle MES. Případné označení "Rel dx" znamená relativní vzdálenost od začátku dotčeného prvku NK.

č.	Prvek (dle MES)	Detail	Namáhání	k _i	typ	L _p [m]	Φ _i	L _Φ [m]	Y _{Q,LM71}	Y _{Q,LM71,E}	Viz str.	Z _{LM71}	Z _{LM71,E}	poznámka
1	2	3	4	5	6	7	8	9	10	11	12	13	14	15
NOSNÁ KONSTRUKCE: ROZHODUJÍCÍ ZATÍŽITELNOST Z HLEDISKA MSÚ														
1	nosná konstrukce (99)	dolní vlákna (2)	normálové napětí - tlak za ohybu (3),(1)	1,0	M	6,83	1,57	7,50	1,45	-	8	>3		pata klenby
NOSNÁ KONSTRUKCE: ROZHODUJÍCÍ ZATÍŽITELNOST Z HLEDISKA MSÚ														
2	nosná konstrukce (99)	stěna (3)	smykové napětí (4)	1,0	Q	6,83	1,57	7,50	1,45	-	9	1,30		Pata klenby
NOSNÁ KONSTRUKCE: ROZHODUJÍCÍ ZATÍŽITELNOST Z HLEDISKA MSP														
3	nosná konstrukce (99)	dolní vlákna (2)	normálové napětí - ohyb (1)	1,0	M	6,83	1,39	7,50	1,0	-	10	>3		průhyb v 1/4 rozpětí
SPODNÍ STAVBA														
4	čelní zeď (99)	dolní vlákna (2)	normálové napětí - ohyb (1)	1,0	S	-	-	7,50	1,50	-	16	1,30		čelní zeď v patě
SPODNÍ STAVBA														
5	křídlo (99)	dolní vlákna (2)	normálové napětí - ohyb (1)	1,0	S	-	-	7,50	1,50	-	20	1,52		zavěšené křídlo
SPODNÍ STAVBA														
5	opěra (99)	dolní vlákna (2)	normálové napětí - ohyb (1)	1,0	S	-	-	7,50	1,50	-	22	1,06		jedná se stávající část spodní stavby
SPODNÍ STAVBA														
5	pilota (99)	hlubinné založení (20)	jiné (99)	1,0	S	-	-	7,50	1,50	-	23	<1		Vyhoví na přechodnost D4/100

Dne: 5. / 5. / 2022
Zatížitelnost určil: Ing. Denis Ujházy